



基于光电二极管的无线光定位技术

朱秉诚 副教授 东南大学移动通信国家重点实验室 紫金山实验室 2024年6月13日

内容提要





- ・研究背景
- •基于光电二极管阵列的到达角估计
- 基于到达角的位姿估计方法
- ·LED数据库的全自动构建方法
- 无线光定位的系统实现

研究背景





无线信号的对比

系统成本

方向性

低

定位误差 高

频谱

传统射频和微波 - 30 GHz 毫米波 30 – 300 GHz 太赫兹 0.1 – 10 THz 光 10 – 1000 THz

3

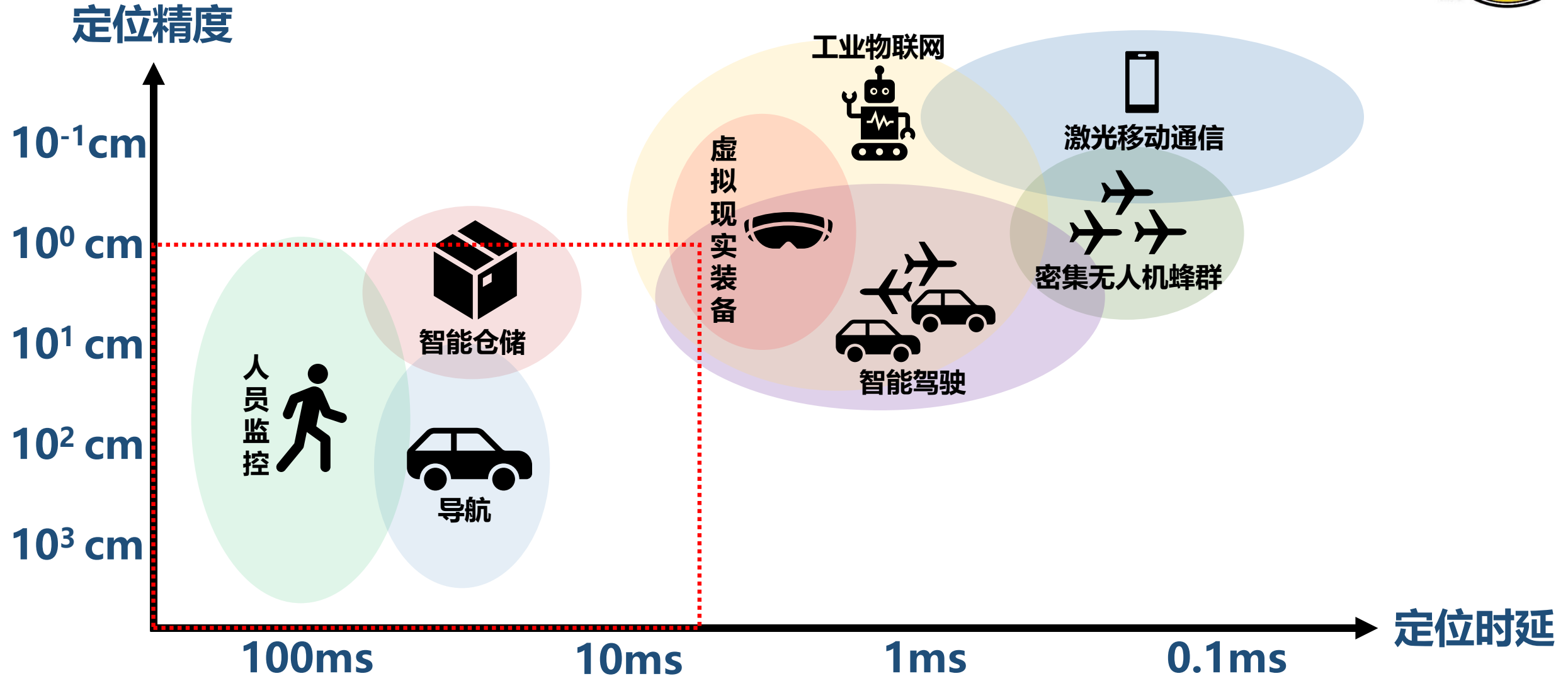


低

研究背景







研究背景





基于不同类型信号的定位效果

系统	精度(米)	成本	优势		
移动蜂窝网	2.5-20	低	高覆盖	衍射及多径影响严重	
ZigBee	1-10	低	低功耗	衍射及多径影响严重	
Wi-Fi	1-5	低	节点多、低功耗	衍射及多径影响严重	
蓝牙	1-5	低	低功耗	衍射及多径影响严重	
UWB	0.01-1	高	高精度	高成本,多径影响严重,需视距环境	
RFID	取决于节点 密度	高 (大量布设)	低功耗	大规模布设成本高	
激光雷达	<0.1	高	高精度,自动构建地图	成本高、功耗高、体积大、算法复杂、响应慢	
无线光定位	0.001-1	中低	高精度,姿态估计	需视距环境	

研究背景 典型的光定位算法





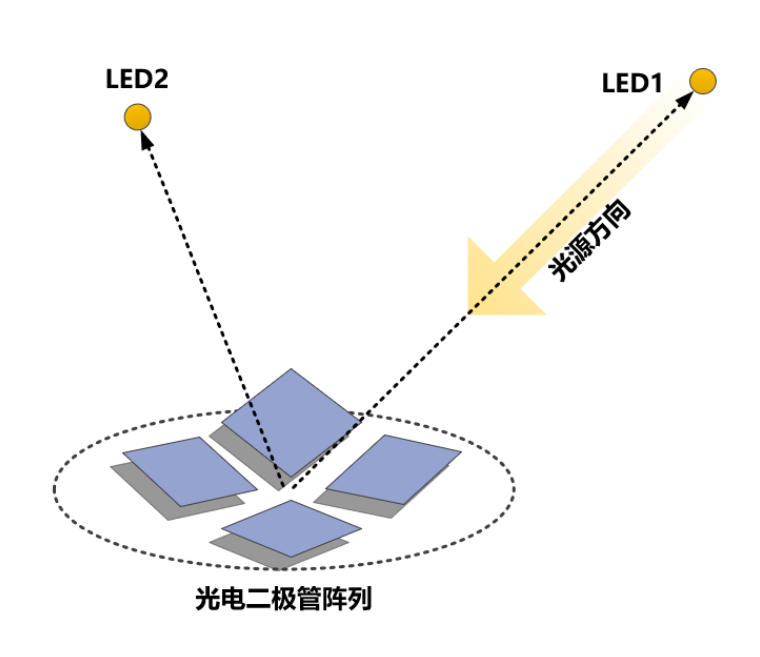
定位算法	精度(m)	成本	附加硬件	优势	弱势
最近邻(Proximity)	1	低		低成本	低精度
到达时间/到达时间差 (TOA/TDOA)	0.01	高	超高精度 同步器件	不需姿态角信息	超纳秒级同步
接收信号强度(RSS)	0.01	低	陀螺仪/加速度计	低成本、复杂度低	需朝向校准 光源功率难估计 光源辐射模式难估计 对倾角抖动敏感
指纹(Fingerprint)	0.001	高	数据库高速匹配单元	高精度、复杂环境适应性强	精确角度校准、庞大数 据库、高运算复杂度、 环境变化敏感
到达角(AOA)	0.01	低		高精度、复杂度低、能估姿态	误差随链路距离 线性增长

基于光电二极管阵列的到达角估计 心紫色的绿色等

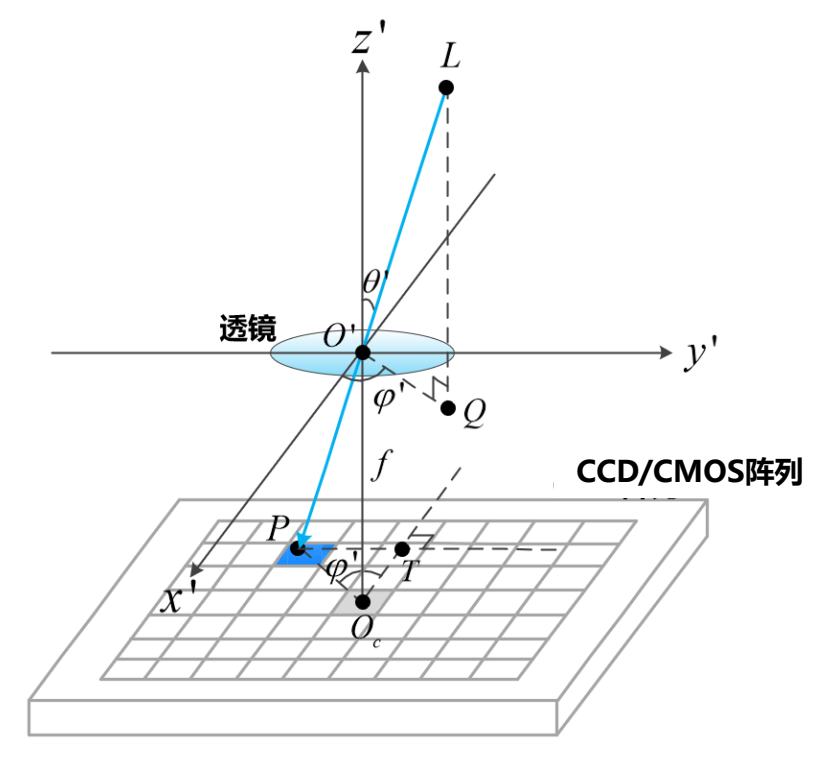




估计光信号AOA的传感器



低延时、低功耗、广视角、低成本



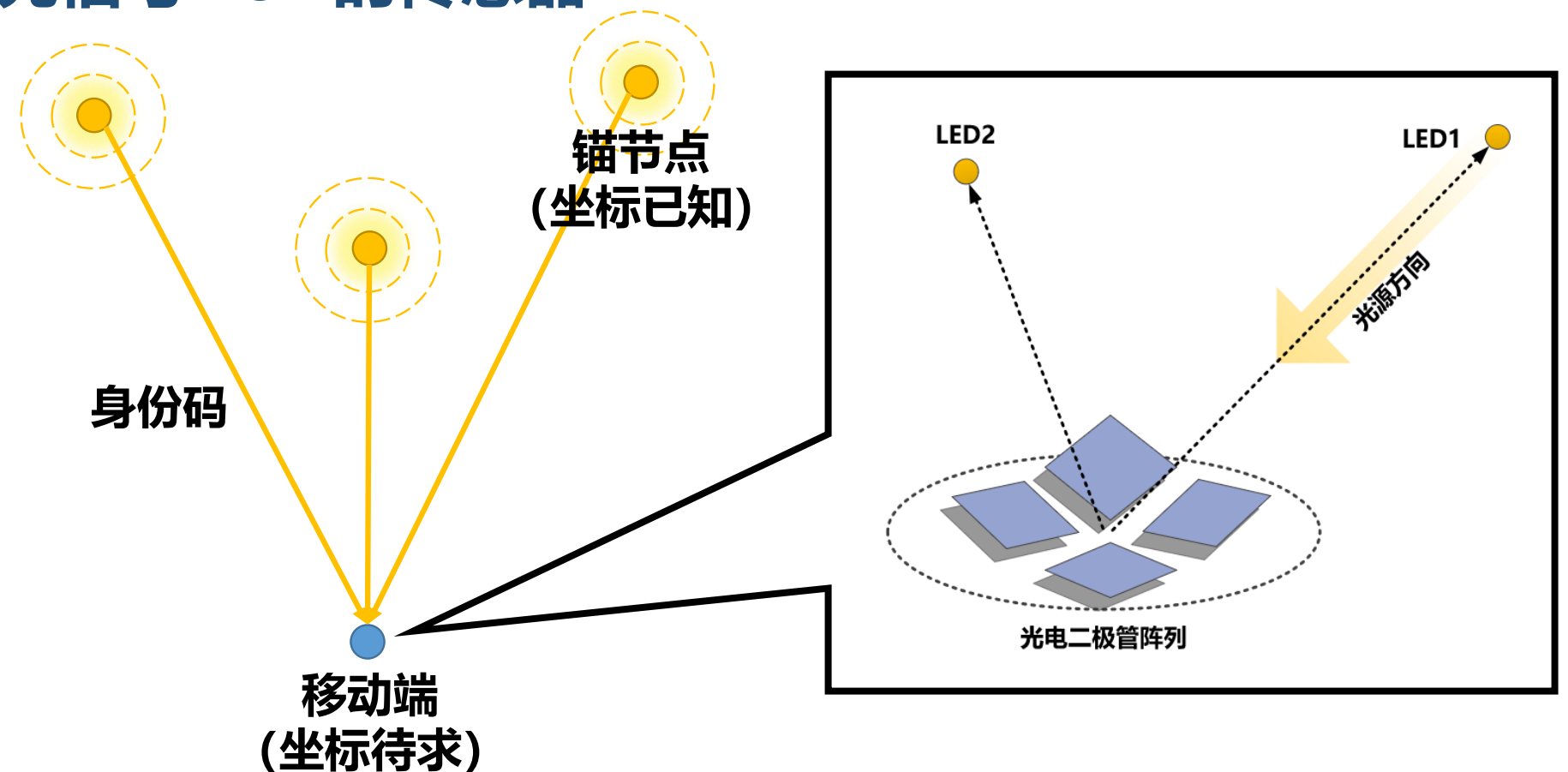
抗多径、高精度、产品丰富

基于光电二极管阵列的到达角估计 心紫色的线验





估计光信号AOA的传感器







估计光信号AOA的算法



PD法向量

$$s_k = p_{\text{max}} \cos \psi_k = p_{\text{max}} \mathbf{v}_k^T \cdot \frac{\mathbf{r}_k}{\|\mathbf{r}_k\|}, 0 \le \psi_k \le \pi$$

平行光垂直入射 PD时的光电流

PD法向量和 光源方向的夹角

光源方向

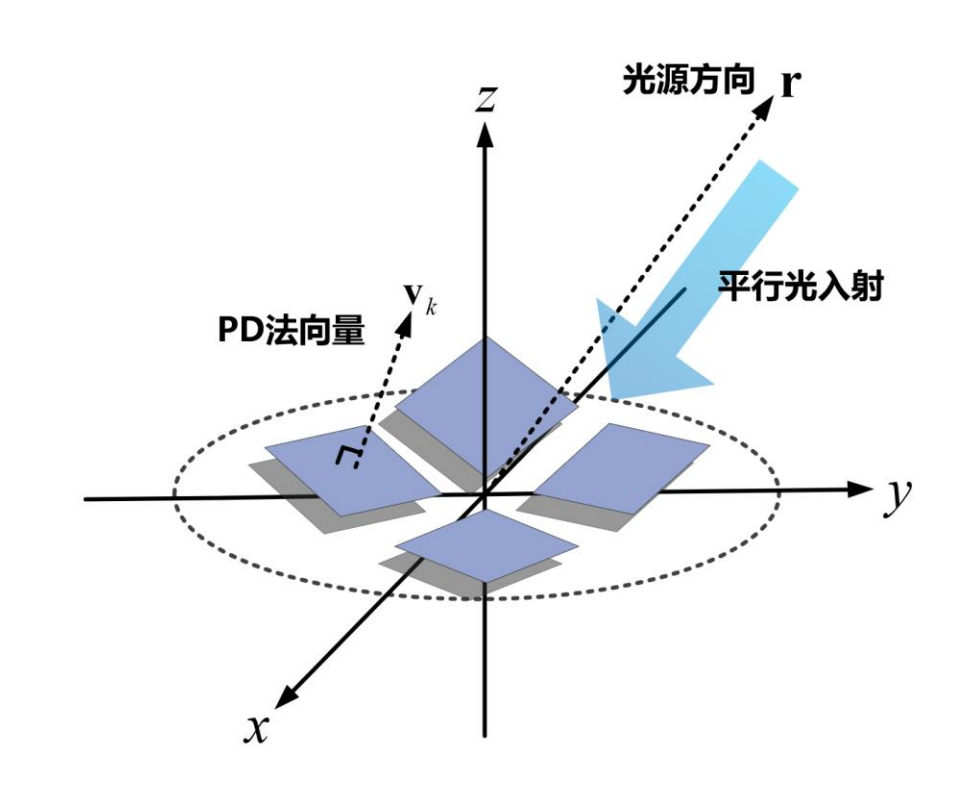
将K个PD的光电流排成列向量

噪声

$$\hat{\mathbf{s}} \approx p_{\text{max}} \mathbf{V}_{PD} \cdot \frac{\mathbf{r}}{\|\mathbf{r}\|} + \mathbf{n} = p_{\text{max}} \mathbf{V}_{PD} \cdot \mathbf{r}_{N} + \mathbf{n}$$

PD法向量构成的矩阵

归一化光源方向



基于光电二极管阵列的到达角估计 心紫色的绿色





估计光信号AOA的算法

根据光电流估计光源方向

$$\hat{\mathbf{r}}_N = \frac{1}{p_{\text{max}}} (\mathbf{V}_{PD}^T \mathbf{V}_{PD})^{-1} \mathbf{V}_{PD}^T \hat{\mathbf{s}}$$

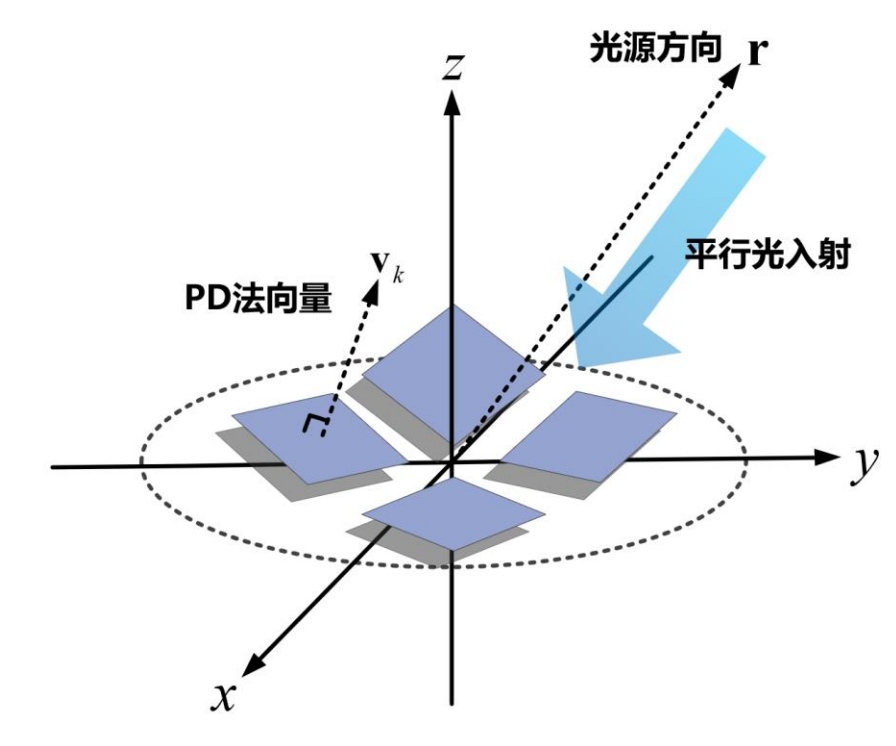
将其整理成信号+误差的形式

$$\hat{\mathbf{r}}_N = \mathbf{r}_N - \left(\mathbf{V}_{PD}^T \mathbf{V}_{PD}\right)^{-1} \mathbf{V}_{PD}^T \frac{\mathbf{n}}{p_{\text{max}}}$$

误差向量的功率为

$$e_{\hat{\mathbf{r}}_N} = E\left[\left\|\mathbf{n}_{\mathbf{r}_N}\right\|^2\right] = E\left[\left\|\left(\mathbf{V}_{PD}^T\mathbf{V}_{PD}\right)^{-1}\mathbf{V}_{PD}^T\frac{\mathbf{n}}{p_{\text{max}}}\right\|^2\right]$$

$$= \frac{\sigma_n^2}{p_{\text{max}}^2} \text{tr} \left(\left(\left(\mathbf{V}_{PD}^T \mathbf{V}_{PD} \right)^{-1} \mathbf{V}_{PD}^T \right)^T \left(\mathbf{V}_{PD}^T \mathbf{V}_{PD} \right)^{-1} \mathbf{V}_{PD}^T \right)$$



$$\min_{\mathbf{V}_{PD}} \left\{ \operatorname{tr} \left(\left(\left(\mathbf{V}_{PD}^{T} \mathbf{V}_{PD} \right)^{-1} \mathbf{V}_{PD}^{T} \right)^{T} \left(\mathbf{V}_{PD}^{T} \mathbf{V}_{PD} \right)^{-1} \mathbf{V}_{PD}^{T} \right) \right\}$$

$$s.t. \|\mathbf{v}_{k}\| = 1, \forall k = 1, \dots, K$$

噪声和信号功率比

存在闭式最优表达式





PD阵列的优化

将VPD进行奇异值分解

$$\mathbf{V}_{PD} = \mathbf{U} \begin{bmatrix} \lambda_1 & 0 & 0 \\ 0 & \lambda_2 & 0 \\ 0 & 0 & \lambda_3 \\ \vdots & \vdots & \\ 0 & 0 & 0 \end{bmatrix} \mathbf{V}^T$$

误差向量功率化为

$$e_{\hat{\mathbf{r}}_N} = \frac{\sigma_n^2}{p_{\text{max}}^2} \operatorname{tr} \left(\mathbf{\Sigma} \left(\mathbf{\Sigma}^T \mathbf{\Sigma} \right)^{-2} \mathbf{\Sigma}^T \right) = \frac{\sigma_n^2}{p_{\text{max}}^2} \left(\frac{1}{\lambda_1^2} + \frac{1}{\lambda_2^2} + \frac{1}{\lambda_3^2} \right)$$

由于 V_{PD} 是归一化PD法向量构成的矩阵,所以必满足

$$\operatorname{tr}\left(\mathbf{V}_{PD}\mathbf{V}_{PD}^{T}\right) = \sum_{k=1}^{K} \mathbf{v}_{k}^{T}\mathbf{v}_{k} = K$$

利用相似矩阵性质,可得

$$\operatorname{tr}\left(\mathbf{V}_{PD}\mathbf{V}_{PD}^{T}\right) = \operatorname{tr}\left(\mathbf{\Sigma}\mathbf{\Sigma}^{T}\right) = \lambda_{1}^{2} + \lambda_{2}^{2} + \lambda_{3}^{2} = K$$





PD阵列的优化

可知最小化误差向量功率的奇异值满足

$$\min_{\lambda_1,\lambda_2,\lambda_3} \left\{ \frac{\sigma_n^2}{p_{\max}^2} \left(\frac{1}{\lambda_1^2} + \frac{1}{\lambda_2^2} + \frac{1}{\lambda_3^2} \right) \right\}$$

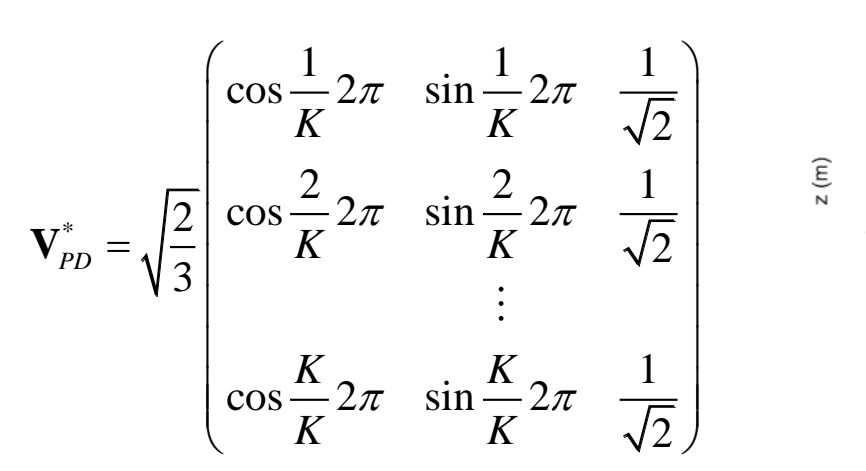
$$s.t.\lambda_1^2 + \lambda_2^2 + \lambda_3^2 = K$$

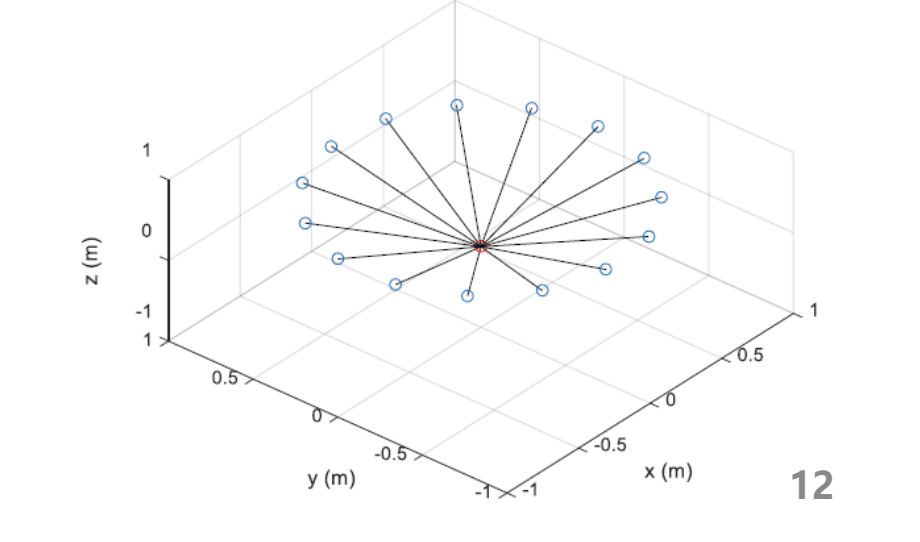
基于KKT条件求解得

一个满足上述条件的解为

$\lambda_1^* = \lambda_2^* = \lambda_3^* = \sqrt{\frac{K}{3}}$

说明最优PD法向量会呈现明显的对称性

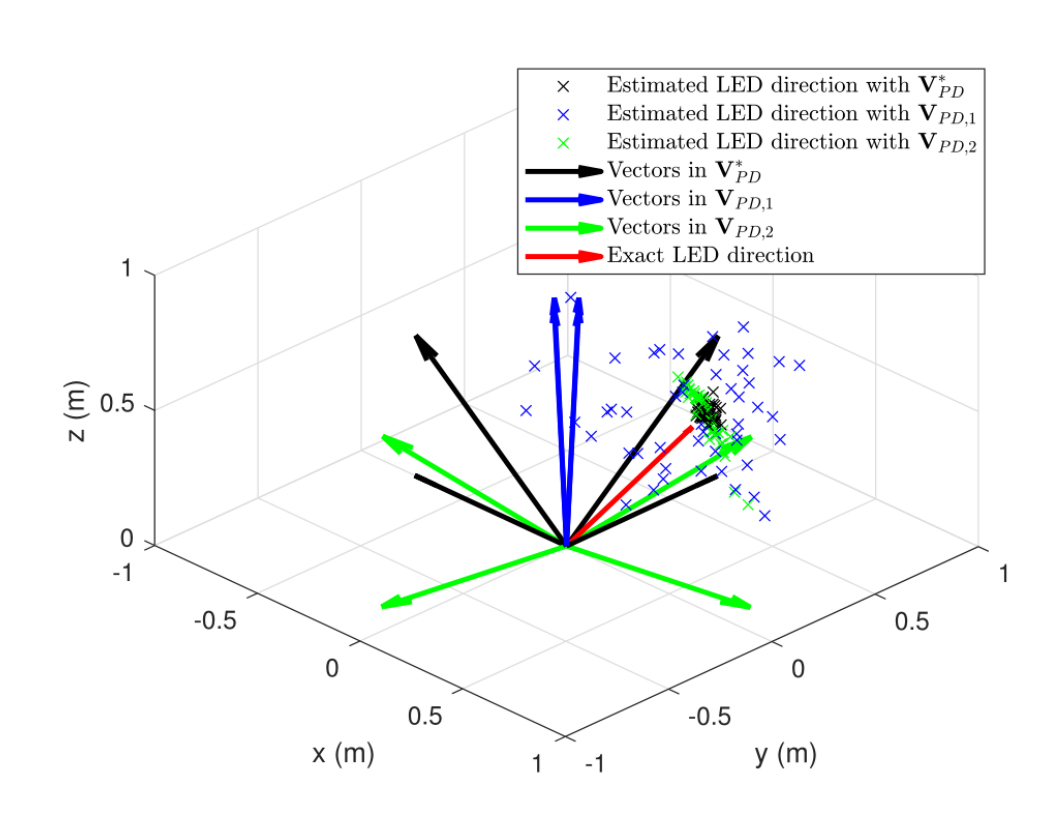




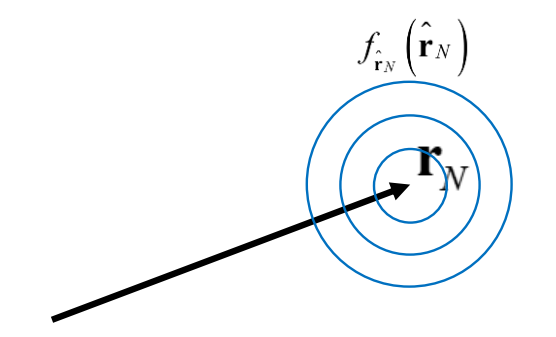




PD阵列的优化



仿真结果表示优化法向量后角度估计更准



入射向量的估计表达式

$$\hat{\mathbf{r}}_{N} = \mathbf{r}_{N} - \left(\mathbf{V}_{PD}^{T} \mathbf{V}_{PD}\right)^{-1} \mathbf{V}_{PD}^{T} \frac{\mathbf{n}}{p_{\text{max}}}$$

当 V_{PD} 为最优时,入射向量的联合概率密度函数为

$$f_{\hat{\mathbf{r}}_N}\left(\hat{\mathbf{r}}_N\right) = \sqrt{\left(\frac{Kp_{\text{max}}^2}{6\pi\sigma_n^2}\right)^3} \exp\left(-\frac{Kp_{\text{max}}^2}{6\sigma_n^2}\left(\hat{\mathbf{r}}_N - \mathbf{r}_N\right)^T\left(\hat{\mathbf{r}}_N - \mathbf{r}_N\right)\right)$$

各元素独立,方差反比于信噪比和PD数量

基于光电二极管阵列的到达角估计 心紫色的交流系

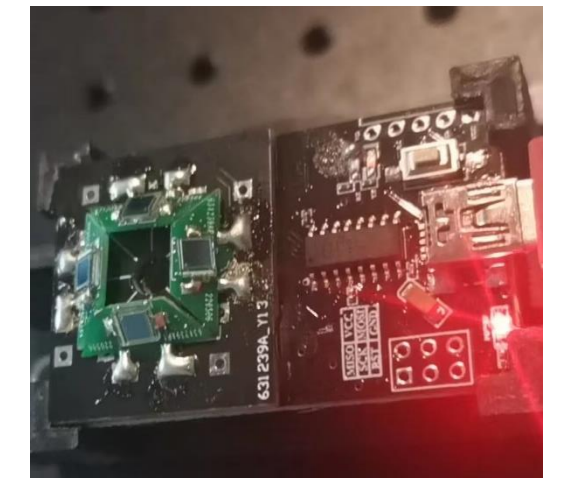




估计光信号方向角的硬件模块

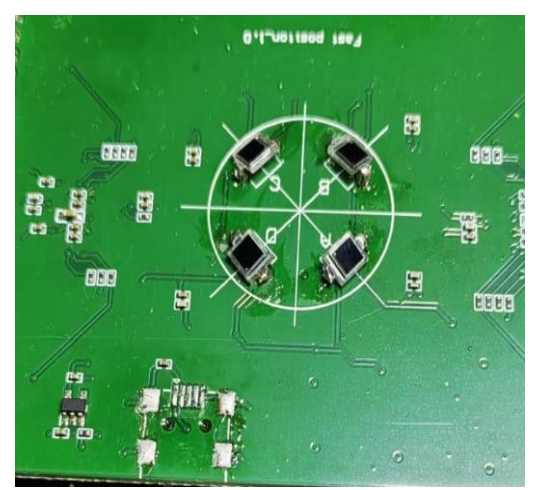
小尺寸 (25mm×40mm) 4 PD 1度角度估计误差





低功耗(<10mW) 4 PD 0.5度角度估计误差

低延时(8kHz定位频率) **4 PD** 1度角度估计误差





三维定位+WiFi回传 8 PD 0.4度角度估计误差 20~100 Hz定位频率

基于光电二极管阵列的到达角估计 心紫色的实验室





估计光信号方向角的硬件模块

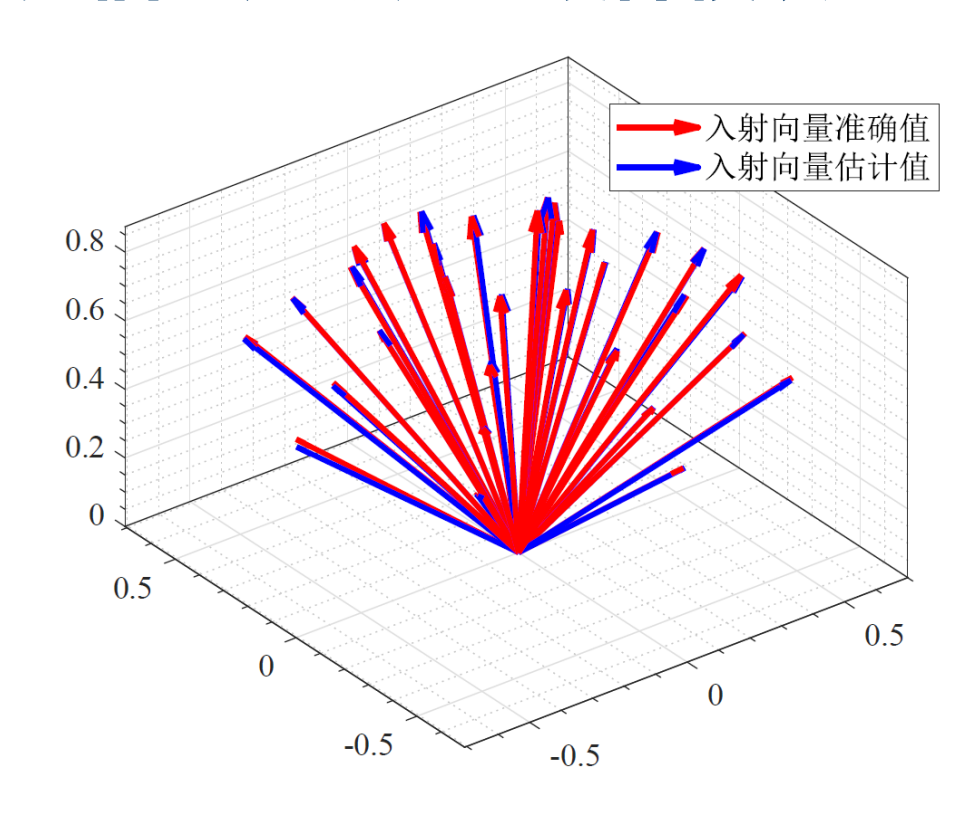
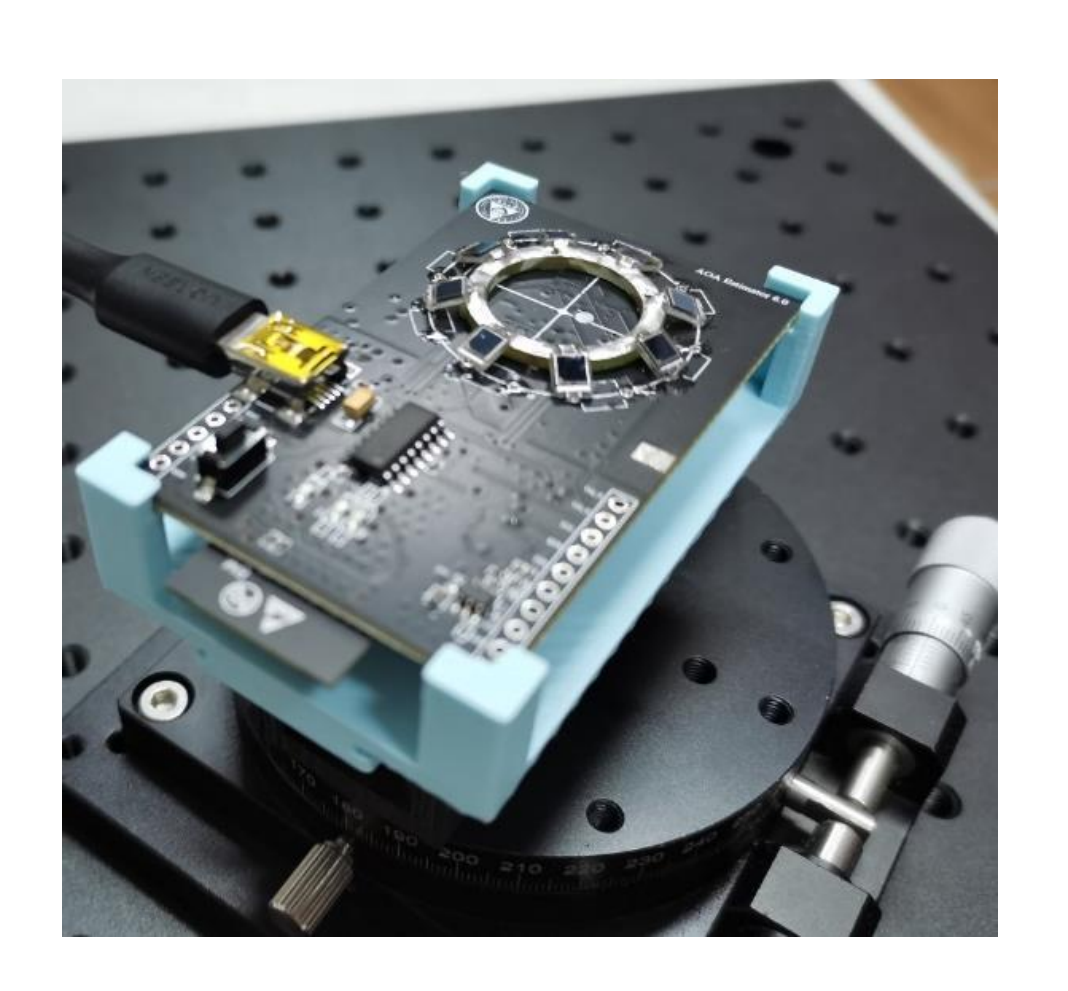


图 5-10 PD 阵列 AOA 估计精度测试结果。



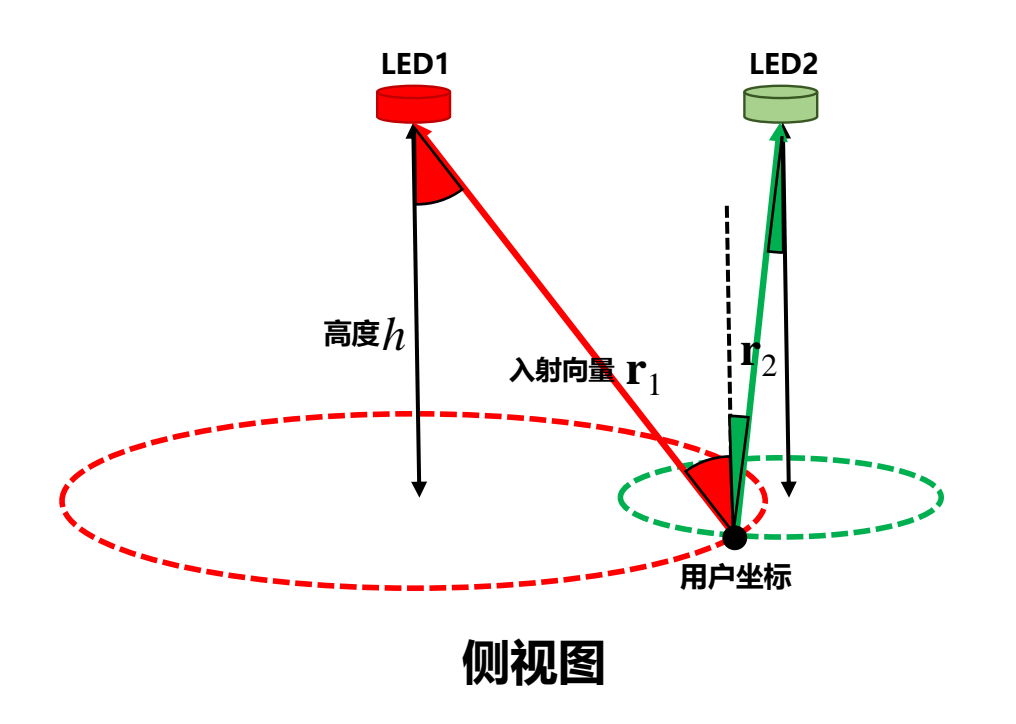
实测结果: 平均误差0.4456°

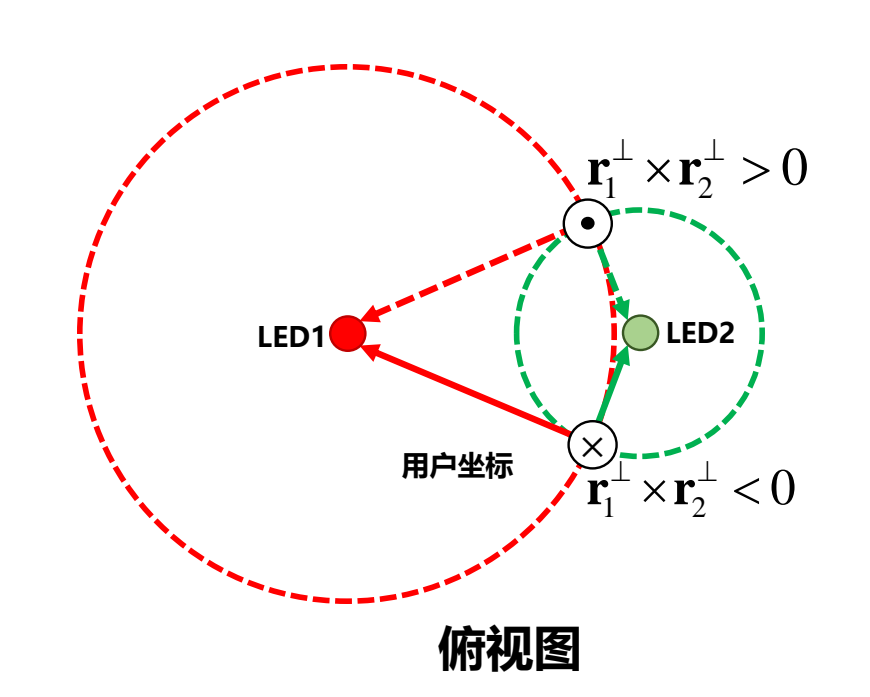




二维定位及姿态估计

当LED高度已知,且接收端平放且方向角任意时,用户坐标和方向角均可直接表示成测量结果的闭式函数





16



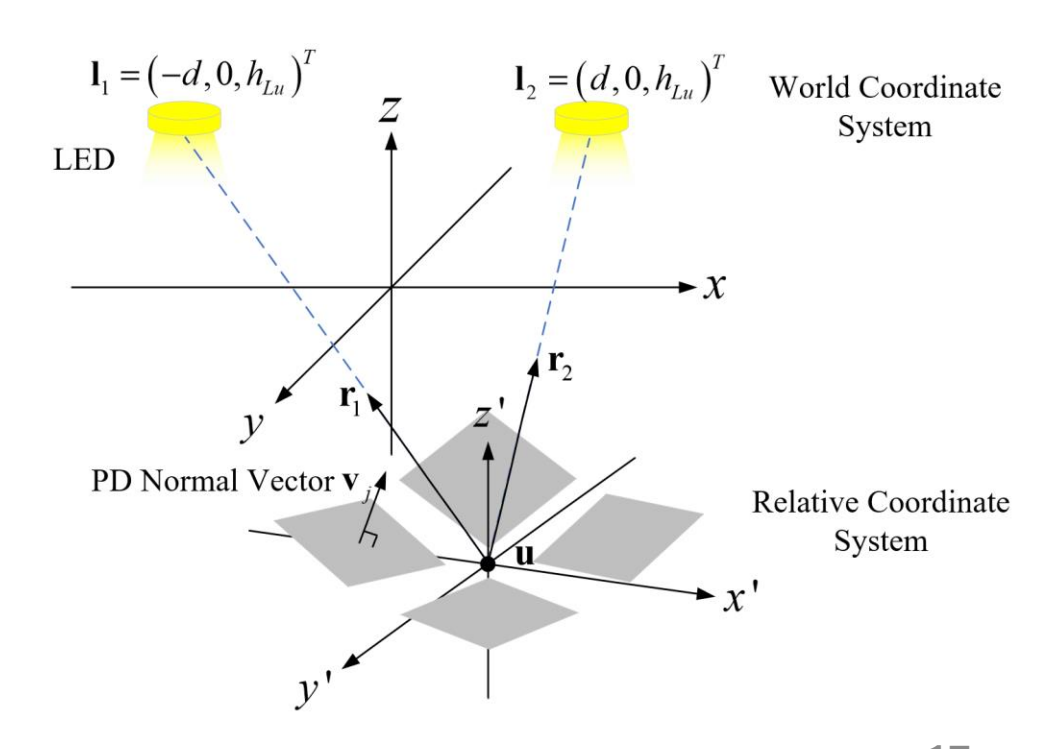


二维定位及姿态估计

当LED高度已知,且接收端平放且方向角任意时,用户坐标和方向角均可直接表示成测量结果的闭式函数

$$\begin{cases} \hat{u}_{x} = \left(\left(\frac{h_{Lu}}{\hat{r}_{z,2}}\right)^{2} - \left(\frac{h_{Lu}}{\hat{r}_{z,1}}\right)^{2}\right) / 4d \\ \\ \left\{ \sqrt{\frac{1}{2}\left(\left(\frac{h_{Lu}}{\hat{r}_{z,2}}\right)^{2} + \left(\frac{h_{Lu}}{\hat{r}_{z,1}}\right)^{2} - 2h_{Lu}^{2}\right) - \left[\frac{1}{4d}\left(\left(\frac{h_{Lu}}{\hat{r}_{z,2}}\right)^{2} - \left(\frac{h_{Lu}}{\hat{r}_{z,1}}\right)^{2}\right)\right]^{2} - d^{2}, (0,0,1)\left(\left(\hat{r}_{x,1},\hat{r}_{y,1},0\right)^{T} \times \left(\hat{r}_{x,2},\hat{r}_{y,2},0\right)^{T}\right) < 0 \\ \\ -\sqrt{\frac{1}{2}\left(\left(\frac{h_{Lu}}{\hat{r}_{z,2}}\right)^{2} + \left(\frac{h_{Lu}}{\hat{r}_{z,1}}\right)^{2} - 2h_{Lu}^{2}\right) - \left[\frac{1}{4d}\left(\left(\frac{h_{Lu}}{\hat{r}_{z,2}}\right)^{2} - \left(\frac{h_{Lu}}{\hat{r}_{z,1}}\right)^{2}\right)\right]^{2} - d^{2}, (0,0,1)\left(\left(\hat{r}_{x,1},\hat{r}_{y,1},0\right)^{T} \times \left(\hat{r}_{x,2},\hat{r}_{y,2},0\right)^{T}\right) > 0 \\ \\ 0, (0,0,1)\left(\left(\hat{r}_{x,1},\hat{r}_{y,1},0\right)^{T} \times \left(\hat{r}_{x,2},\hat{r}_{y,2},0\right)^{T}\right) = 0 \end{cases}$$

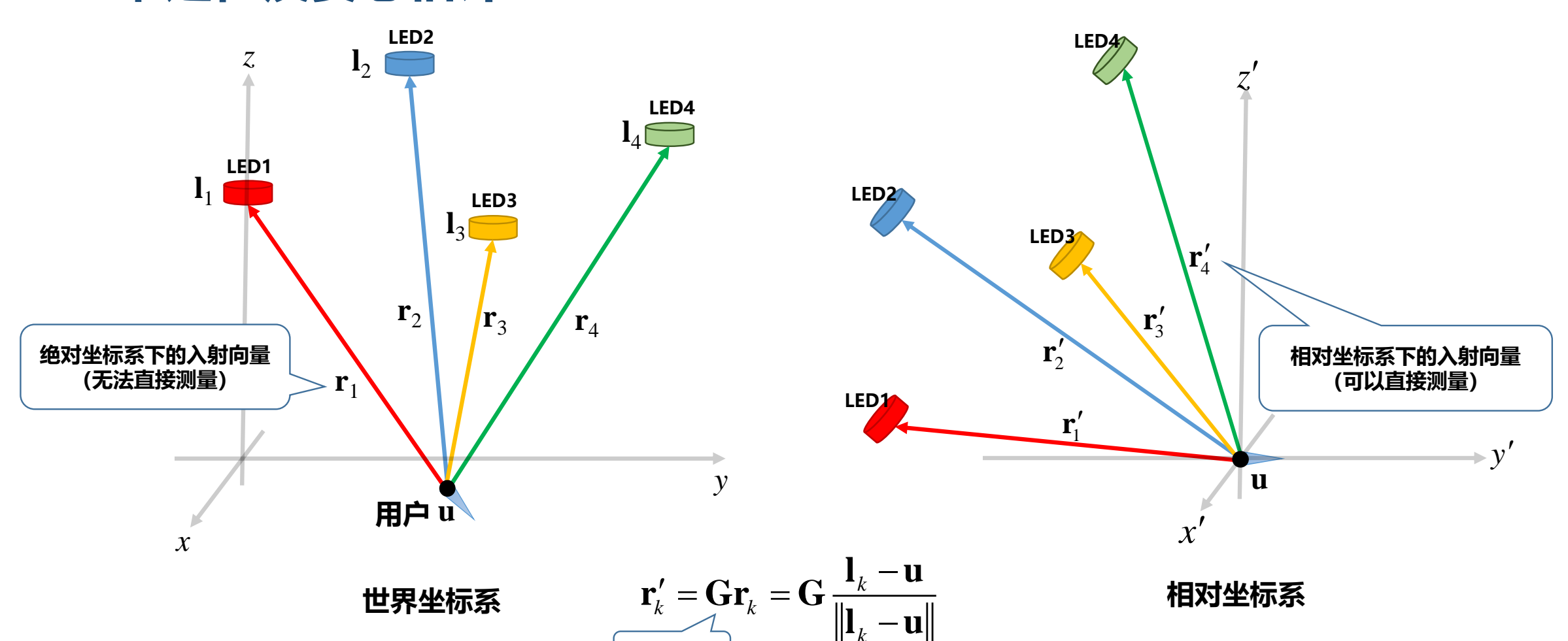
$$\hat{\boldsymbol{\beta}} = \operatorname{atan2}\left(\left(0, 0, \frac{1}{2}\right)\left(\hat{\mathbf{r}}_{N,1}^{\perp} \times \hat{\mathbf{r}}_{N,1}^{\prime\perp} + \hat{\mathbf{r}}_{N,2}^{\perp} \times \hat{\mathbf{r}}_{N,2}^{\prime\perp}\right), \frac{1}{2}\left(\left(\hat{\mathbf{r}}_{N,1}^{\prime\perp}\right)^{T} \hat{\mathbf{r}}_{N,1}^{\perp} + \left(\hat{\mathbf{r}}_{N,2}^{\prime\perp}\right)^{T} \hat{\mathbf{r}}_{N,2}^{\perp}\right)\right)$$







三维定位及姿态估计





旋转矩阵



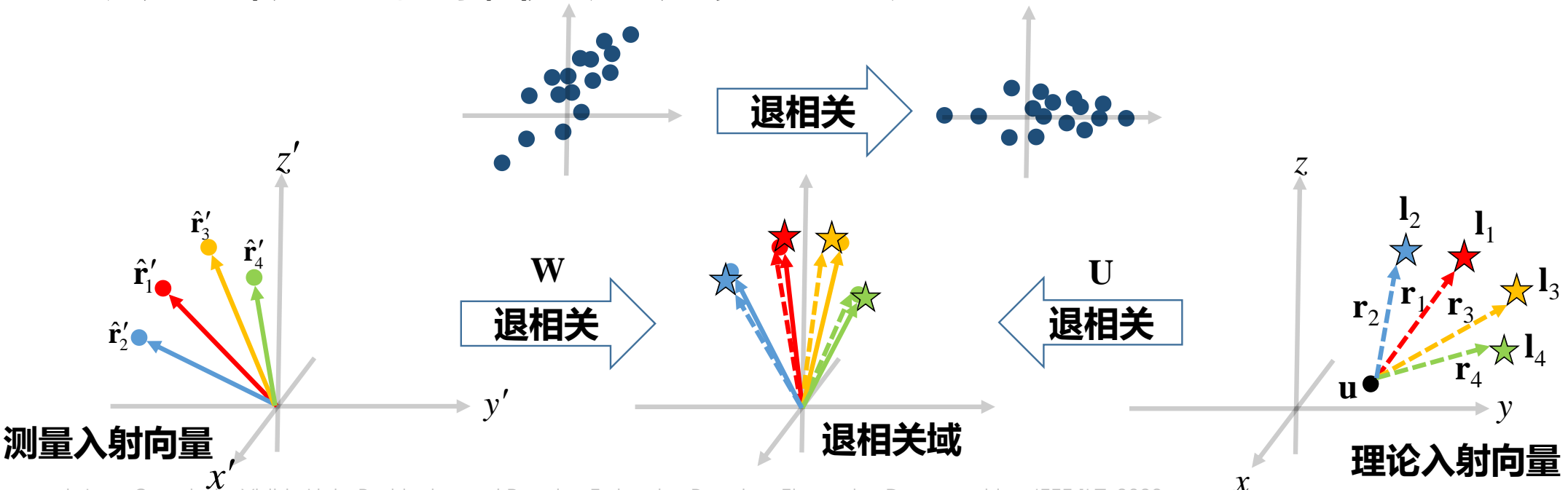
三维定位及姿态估计

若直接构造定位模型,则需求解6变量的非凸优化问题

 $\max_{\mathbf{G},\mathbf{u}} f_{\hat{\mathbf{r}}'_{1},\cdots,\hat{\mathbf{r}}'_{K}|\mathbf{G},\mathbf{u}} \left(\hat{\mathbf{r}}'_{1},\cdots,\hat{\mathbf{r}}'_{K} \mid \mathbf{G},\mathbf{u} \right) \Rightarrow \max_{\mathbf{G},\mathbf{u}} \prod_{k=1}^{K} \exp \left\{ -\hat{\gamma}_{k} \left\| \hat{\mathbf{r}}'_{k} - \mathbf{G} \frac{\mathbf{l}_{k} - \mathbf{u}}{\left\| \mathbf{l}_{k} - \mathbf{u} \right\|} \right\|^{2} \right\}$

信噪比

为了减少变量数,可将入射向量样本 $\hat{\mathbf{r}}_k'$ 和理论入射向量样本 $\frac{\mathbf{l}_k-\mathbf{u}}{\|\mathbf{l}_k-\mathbf{u}\|}$ 放在"退相关域"进行比较,而避免对旋转矩阵 \mathbf{G} 的搜索,使问题降为3变量优化问题



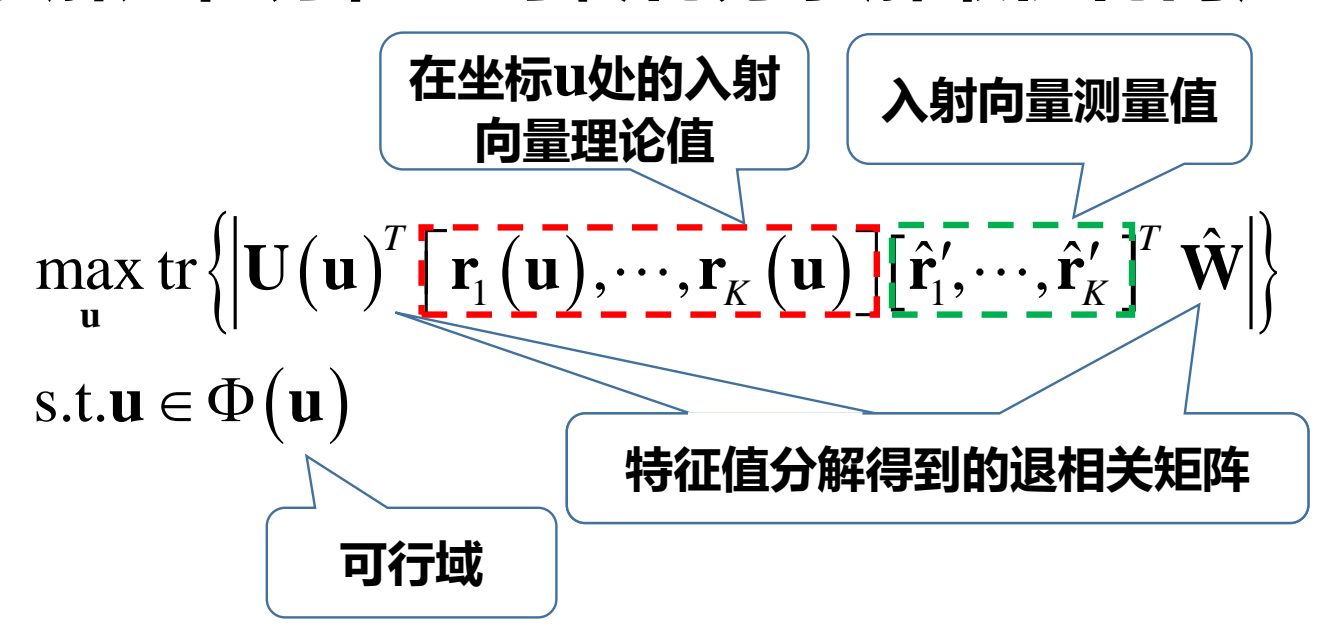
19



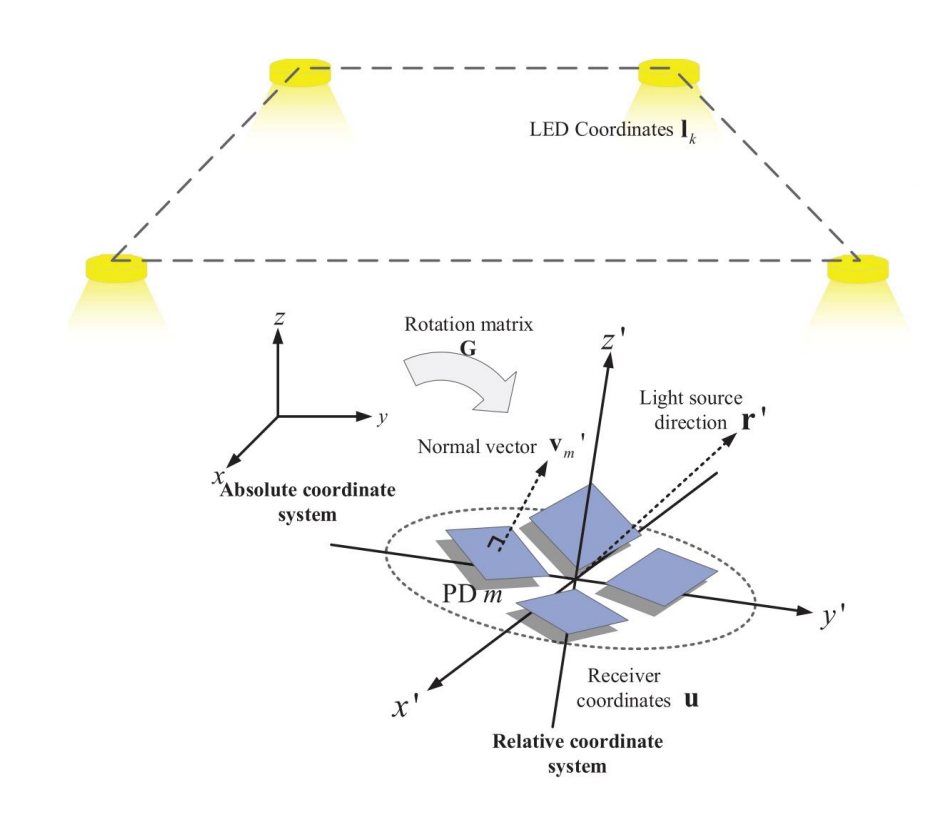


三维定位及姿态估计

求解定位方程组可转化为求解最优化问题



$$\mathbf{G}^* = \hat{\mathbf{W}} \operatorname{sign} \left(\operatorname{diag} \left(\mathbf{U} \left(\mathbf{u}^* \right)^T \left[\mathbf{r}_1 \left(\mathbf{u}^* \right), \dots, \mathbf{r}_K \left(\mathbf{u}^* \right) \right] \left[\mathbf{r}_1', \dots, \mathbf{r}_K' \right] \hat{\mathbf{W}} \right) \right) \mathbf{U} \left(\mathbf{u}^* \right)^T$$

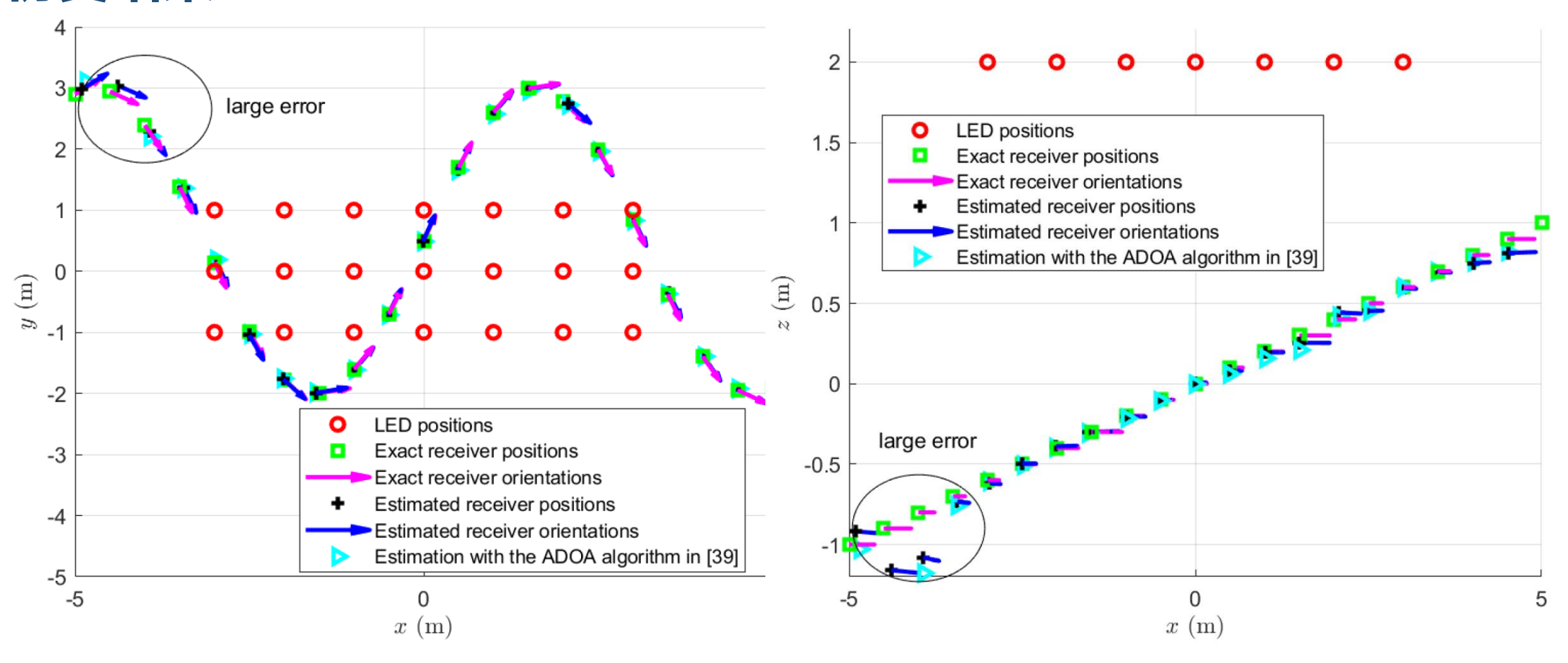


通过三维区域内迭代搜索,即可求得用户坐标u*及旋转矩阵G*





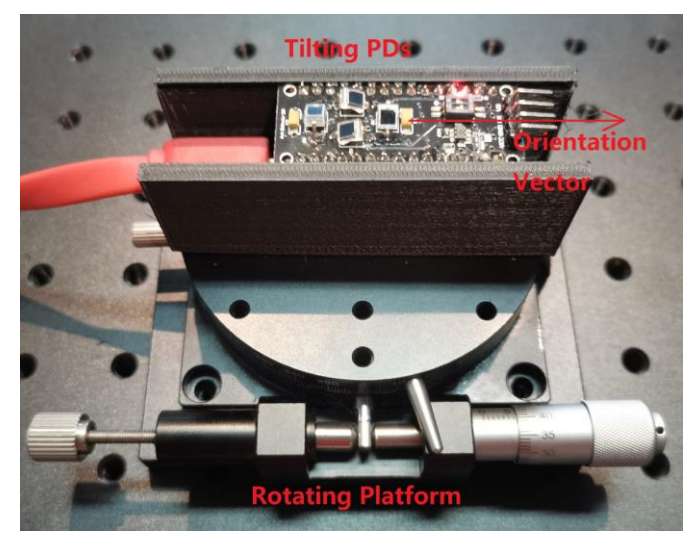
仿真结果



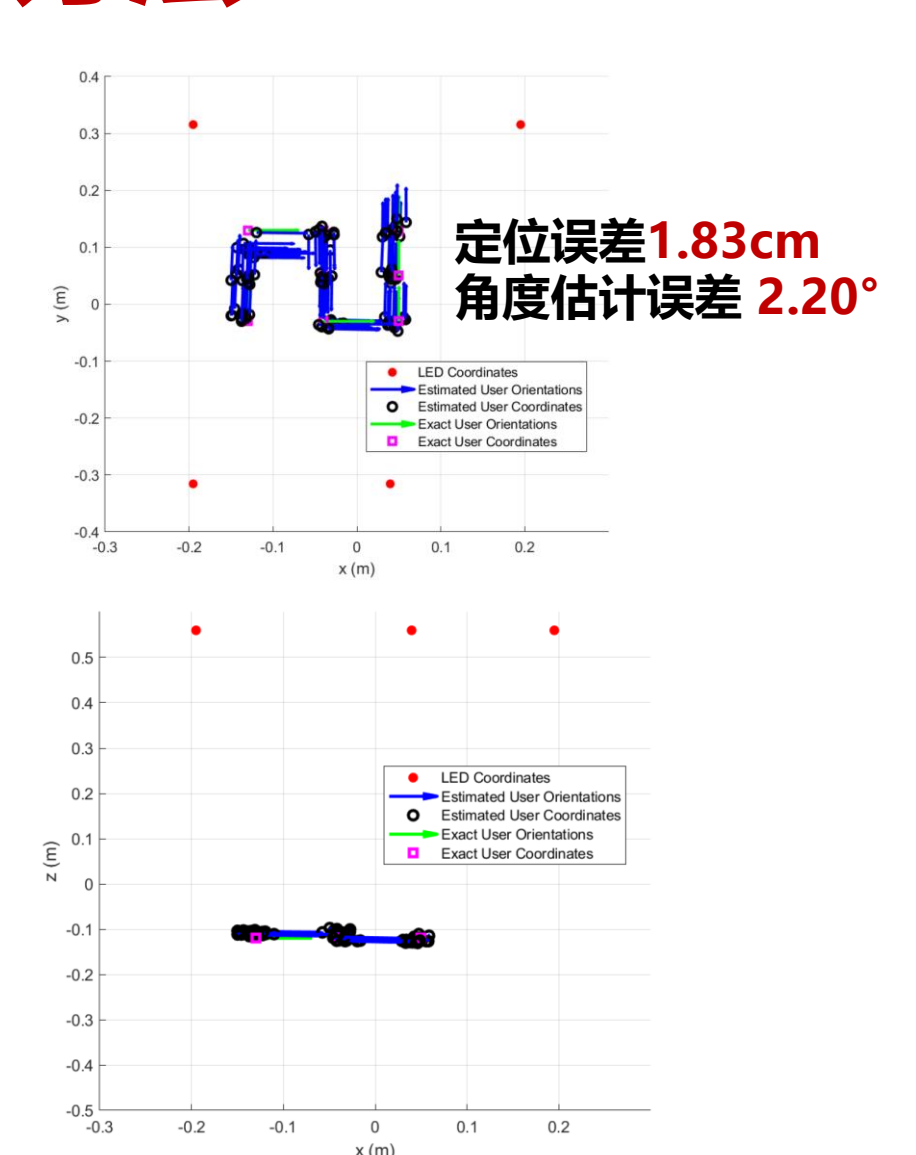




实验结果



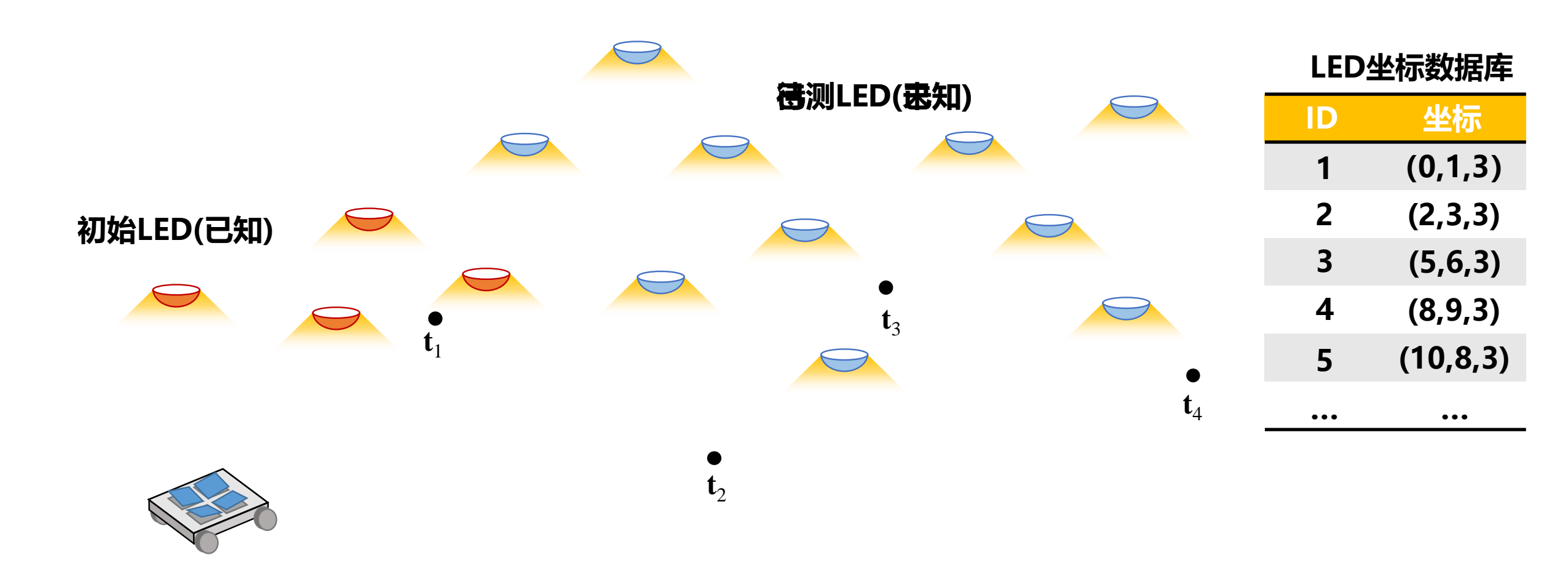




LED数据库的全自动构建方法 心紫色的交通家



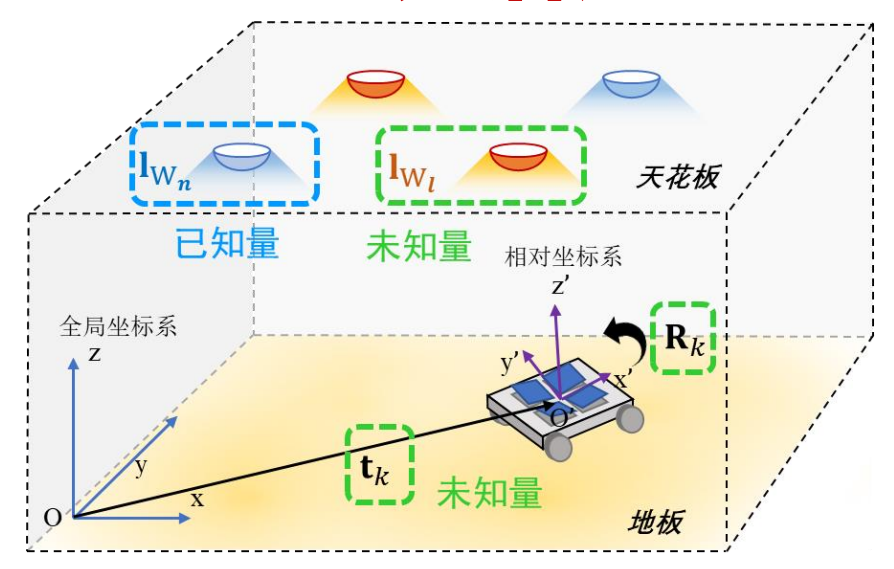




LED数据库的全自动构建方法







接收机定位算法

已知量:光源LED坐标lw,

待求量:接收机位置t、姿态R

光源定位算法

已知量:接收机位置 t_k 、姿态 R_k

待求量: 光源LED坐标Iw

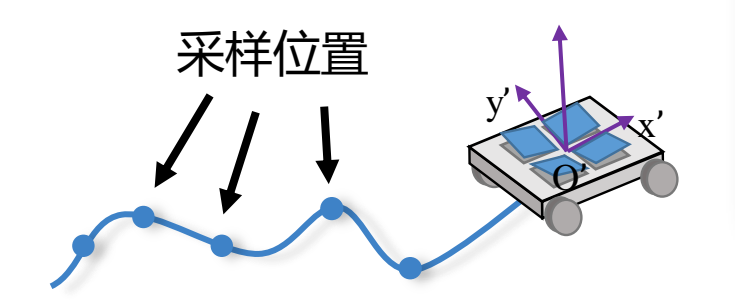
两个算法各自的输出都是另一个算法所需输入的估计值

初始信息: 仅需要少量已知光源LED

提供光信号样本

接收机定位算法与光源定位算法的融合

接收机持续移动



接收机对自身定位

- > 接收机位置和姿态估计
- ➤ 获得入射光AOA样本



更新光源坐标数据库

- > 未知光源坐标估计
- 扩充光源坐标数据库





扩充可用光源信标资源

LED数据库的全自动构建方法





接收机定位算法

已知量:光源LED坐标I_W,

待求量:接收机位置 \mathbf{t}_k 、旋转矩阵 \mathbf{R}_k

$$\max_{\mathbf{R}_{k},\mathbf{t}_{k}} f_{\hat{\mathbf{r}}_{1,1},\cdots,\hat{\mathbf{r}}_{N,k}|\mathbf{R}_{k},\mathbf{t}_{k}} \left(\hat{\mathbf{r}}_{1,1},\cdots,\hat{\mathbf{r}}_{N,k} \mid \mathbf{R}_{k},\mathbf{t}_{k} \right)$$

$$\Rightarrow \max_{\mathbf{R}_{k}, \mathbf{t}_{k}} \prod_{n=1}^{N} \left(\frac{6\pi\sigma_{\mathbf{n}}^{2}}{Jp_{\max_{n,k}}^{2}} \right)^{-\frac{3}{2}} \exp \left\{ -\frac{Jp_{\max_{n,k}}^{2}}{6\sigma_{\mathbf{n}}^{2}} \left\| \hat{\mathbf{r}}_{n,k} - \frac{\mathbf{R}_{k} \left(\mathbf{l}_{\mathbf{W}_{n}} - \mathbf{t}_{k} \right)}{\left\| \mathbf{R}_{k} \left(\mathbf{l}_{\mathbf{W}_{n}} - \mathbf{t}_{k} \right) \right\|^{2}} \right\}$$

$$\Rightarrow \min_{\mathbf{R}_{k}, \mathbf{t}_{k}} \sum_{n=1}^{N} c_{n,k} \left\| \hat{\mathbf{r}}_{n,k} - \frac{\mathbf{R}_{k} \left(\mathbf{l}_{\mathbf{W}_{n}} - \mathbf{t}_{k} \right)}{\left\| \mathbf{R}_{k} \left(\mathbf{l}_{\mathbf{W}_{n}} - \mathbf{t}_{k} \right) \right\|} \right\|_{G_{k}(\mathbf{R}_{k}, \mathbf{t}_{k})}$$

光源定位算法

已知量:接收机位置 t_k 、旋转矩阵 R_k

待求量:光源LED坐标Iw

$$\max_{\mathbf{I}_{\mathrm{W}_l}} f_{\hat{\mathbf{r}}_{l,1},\cdots,\hat{\mathbf{r}}_{l,K}|\mathbf{l}_{\mathrm{W}_l}}\left(\hat{\mathbf{r}}_{l,1},\cdots,\hat{\mathbf{r}}_{l,K}|\mathbf{I}_{\mathrm{W}_l}\right)$$

$$\Rightarrow \max_{\mathbf{R}_{k},\mathbf{t}_{k}} \prod_{n=1}^{N} \left(\frac{6\pi\sigma_{\mathbf{n}}^{2}}{Jp_{\max_{l,k}}^{2}} \right)^{-\frac{3}{2}} \exp \left\{ -\frac{Jp_{\max_{l,k}}^{2}}{6\sigma_{\mathbf{n}}^{2}} \left\| \hat{\mathbf{r}}_{n,k} - \frac{\mathbf{R}_{k} \left(\mathbf{l}_{\mathbf{W}_{n}} - \mathbf{t}_{k} \right)}{\left\| \mathbf{R}_{k} \left(\mathbf{l}_{\mathbf{W}_{n}} - \mathbf{t}_{k} \right) \right\|^{2}} \right\} \right\}$$

$$\Rightarrow \max_{\mathbf{l}_{\mathbf{W}_{l}}} \prod_{k=1}^{K} \left(\frac{6\pi\sigma_{\mathbf{n}}^{2}}{Jp_{\max_{l,k}}^{2}} \right)^{-\frac{3}{2}} \exp \left\{ -\frac{Jp_{\max_{l,k}}^{2}}{6\sigma_{\mathbf{n}}^{2}} \left\| \hat{\mathbf{r}}_{l,k} - \frac{\mathbf{R}_{k} \left(\mathbf{l}_{\mathbf{W}_{l}} - \mathbf{t}_{k} \right)}{\left\| \mathbf{R}_{k} \left(\mathbf{l}_{\mathbf{W}_{l}} - \mathbf{t}_{k} \right) \right\|^{2}} \right\} \right\}$$

$$\Rightarrow \min_{\mathbf{l}_{\mathbf{W}_{l}}} \sum_{k=1}^{K} c_{l,k} \left\| \hat{\mathbf{r}}_{l,k} - \frac{\mathbf{R}_{k} \left(\mathbf{l}_{\mathbf{W}_{l}} - \mathbf{t}_{k} \right)}{\left\| \mathbf{R}_{k} \left(\mathbf{l}_{\mathbf{W}_{l}} - \mathbf{t}_{k} \right) \right\|} \right\|^{2}}$$

LED数据库的全自动构建方法 《 Purple Mountain Laboratories





旋转矩阵的级数表示——李代数

如果使用传统方法描述旋转矩阵误差带来的向量映射误差,则可得

$$\mathbf{e}_{\hat{\mathbf{R}}\mathbf{p}} = \hat{\mathbf{R}}\mathbf{p} - \mathbf{R}\mathbf{p} = (\Delta \mathbf{R} - \mathbf{I}_3)\mathbf{R}\mathbf{p}$$

误差表达式带有正交约束,难以处理

因此可将旋转矩阵表示成级数形式, 仅用三个无约束变量描述有噪旋转矩阵 R

$$\hat{\mathbf{R}} = \Delta \mathbf{R} \cdot \mathbf{R} = \mathbf{R} + \boldsymbol{\tau}^{\wedge} \mathbf{R} + \sum_{n=2}^{\infty} \frac{1}{n!} (\boldsymbol{\tau}^{\wedge})^{n} \mathbf{R}$$

$$\boldsymbol{\tau}^{\wedge} = \begin{bmatrix} \boldsymbol{\tau}^{(1)} \\ \boldsymbol{\tau}^{(2)} \\ \boldsymbol{\tau}^{(3)} \end{bmatrix}^{\wedge} = \begin{bmatrix} 0 & -\boldsymbol{\tau}^{(3)} & \boldsymbol{\tau}^{(2)} \\ \boldsymbol{\tau}^{(3)} & 0 & -\boldsymbol{\tau}^{(1)} \\ -\boldsymbol{\tau}^{(2)} & \boldsymbol{\tau}^{(1)} & 0 \end{bmatrix}$$

此时向量映射误差可简化为

$$\mathbf{e}_{\hat{\mathbf{R}}\mathbf{p}} = \hat{\mathbf{R}}\mathbf{p} - \mathbf{R}\mathbf{p} \to \frac{D\mathbf{R}\mathbf{p}}{D\mathbf{R}}\boldsymbol{\tau} = \lim_{\tau \to \mathbf{0}} \left[\frac{\hat{\mathbf{R}}\mathbf{p} - \mathbf{R}\mathbf{p}}{\tau^{(1)}} \quad \frac{\hat{\mathbf{R}}\mathbf{p} - \mathbf{R}\mathbf{p}}{\tau^{(2)}} \quad \frac{\hat{\mathbf{R}}\mathbf{p} - \mathbf{R}\mathbf{p}}{\tau^{(3)}} \right] \boldsymbol{\tau} = -(\mathbf{R}\mathbf{p})^{\hat{\ }}\boldsymbol{\tau}$$

正交约束

LED数据库的全自动构建方法





误差性能分析

接收机定位算法

$$\min_{\mathbf{R}_{k},\mathbf{t}_{k}} \sum_{n=1}^{N} c_{n,k} \left\| \hat{\mathbf{r}}_{n,k} - \frac{\mathbf{R}_{k} \left(\mathbf{l}_{\mathbf{W}_{n}} - \mathbf{t}_{k} \right)}{\left\| \mathbf{R}_{k} \left(\mathbf{l}_{\mathbf{W}_{n}} - \mathbf{t}_{k} \right) \right\|} \right\|^{2}$$

$$G_{k}(\mathbf{R}_{k},\mathbf{t}_{k})$$

其目标函数在精确采样位姿 (R_k^*, t_k^*) 处的泰勒级数展开为

关于 τ_k , Δt_k 的二次函数,存在闭式解

$$G_k(\mathbf{R}_k^* + \mathbf{\tau}_k^*)\mathbf{R}_k^*, \mathbf{t}_k^* + \Delta \mathbf{t}_k) \approx$$

新自变量—定位误差
$$G_{k}(\mathbf{R}_{k}^{*}+\boldsymbol{\tau}_{k}^{\hat{\mathbf{C}}}\mathbf{R}_{k}^{*},\boldsymbol{t}_{k}^{*}+\boldsymbol{\Delta t}_{k}) \approx \sum_{n=1}^{N} C_{n,k} \left\| \hat{\mathbf{r}}_{n,k} - \mathbf{r}_{n,k} + \left[\frac{\mathbf{I}_{3}}{\left\| \mathbf{l}_{n,k} \right\|} - \frac{\mathbf{l}_{n,k} \mathbf{l}_{n,k}^{\mathsf{T}}}{\left\| \mathbf{l}_{n,k} \right\|^{3}} \right] \left[\mathbf{R}_{k}^{*}(\mathbf{l}_{\mathbf{W}_{n}} - \mathbf{t}_{k}^{*}) \right]^{\hat{\mathbf{T}}} \boldsymbol{\tau}_{k} + \left[\frac{\mathbf{I}_{3}}{\left\| \mathbf{l}_{n,k} \right\|} - \frac{\mathbf{l}_{n,k} \mathbf{l}_{n,k}^{\mathsf{T}}}{\left\| \mathbf{l}_{n,k} \right\|^{3}} \right] \mathbf{R}_{k}^{*} \Delta \mathbf{t}_{k} \right\|^{2}$$

求解后可得

$$\boldsymbol{\delta}_{k} \coloneqq \begin{bmatrix} \boldsymbol{\tau}_{k} \\ \Delta \boldsymbol{t}_{k} \end{bmatrix} \approx \boldsymbol{X}_{k}^{-1} \sum_{n=1}^{N} \boldsymbol{Y}_{n,k} \boldsymbol{n}_{\boldsymbol{r}_{n,k}} \qquad \boldsymbol{C}_{\boldsymbol{\delta}_{k}} = E \left[\boldsymbol{\delta}_{k} \boldsymbol{\delta}_{k}^{T} \right] = \frac{3\sigma_{\mathbf{n}}^{2}}{J} \left(\sum_{n=1}^{N} p_{\max_{n,k}}^{2} \boldsymbol{A} \right)^{-1}$$

类似可得LED估计坐标误差

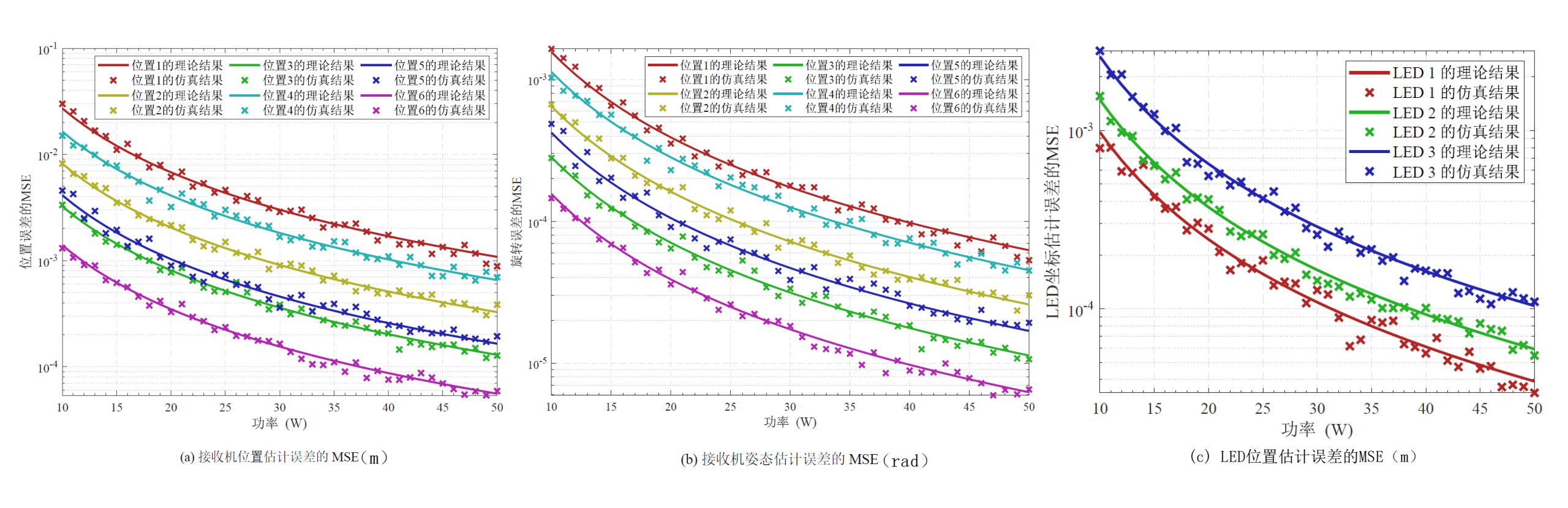
$$\Delta \mathbf{l}_{\mathbf{W}_{l}} \approx \mathbf{M}_{l}^{-1} \cdot \sum_{k=1}^{K} \mathbf{N}_{l,k} \left(\mathbf{n}_{\mathbf{r}_{l,k}} - \mathbf{J}_{l,k} \boldsymbol{\delta}_{k} \right) \quad \mathbf{C}_{\Delta \mathbf{l}_{\mathbf{W}_{l}}} = \mathbb{E} \left[\Delta \mathbf{l}_{\mathbf{W}_{l}} \Delta \mathbf{l}_{\mathbf{W}_{l}}^{\mathrm{T}} \right] = \frac{3\sigma_{\mathbf{n}}^{2}}{J} \left(\sum_{k=1}^{K} p_{\max_{l,k}} \mathbf{J}_{\mathbf{l}_{\mathbf{W}_{l}}}^{\mathbf{m}_{\hat{\mathbf{r}}_{l,k}}} \mathbf{J}_{\mathbf{l}_{\mathbf{W}_{l}}}^{\mathbf{m}_{\hat{\mathbf{r}}_{l,k}}} \mathbf{J}_{l,k}^{\mathbf{m}_{\hat{\mathbf{r}}_{l,k}}} \right)^{-1} + \mathbf{M}_{l}^{-1} \sum_{k=1}^{K} \mathbf{N}_{l,k} \mathbf{J}_{l,k} \left(\mathbf{X}_{k}^{-1} \right)^{\mathrm{T}} \mathbf{J}_{l,k}^{\mathrm{T}} \mathbf{N}_{l,k}^{\mathrm{T}} \left(\mathbf{M}_{l}^{-1} \right)^{\mathrm{T}}$$

LED数据库的全自动构建方法 心紫色的紫色的





仿真结果

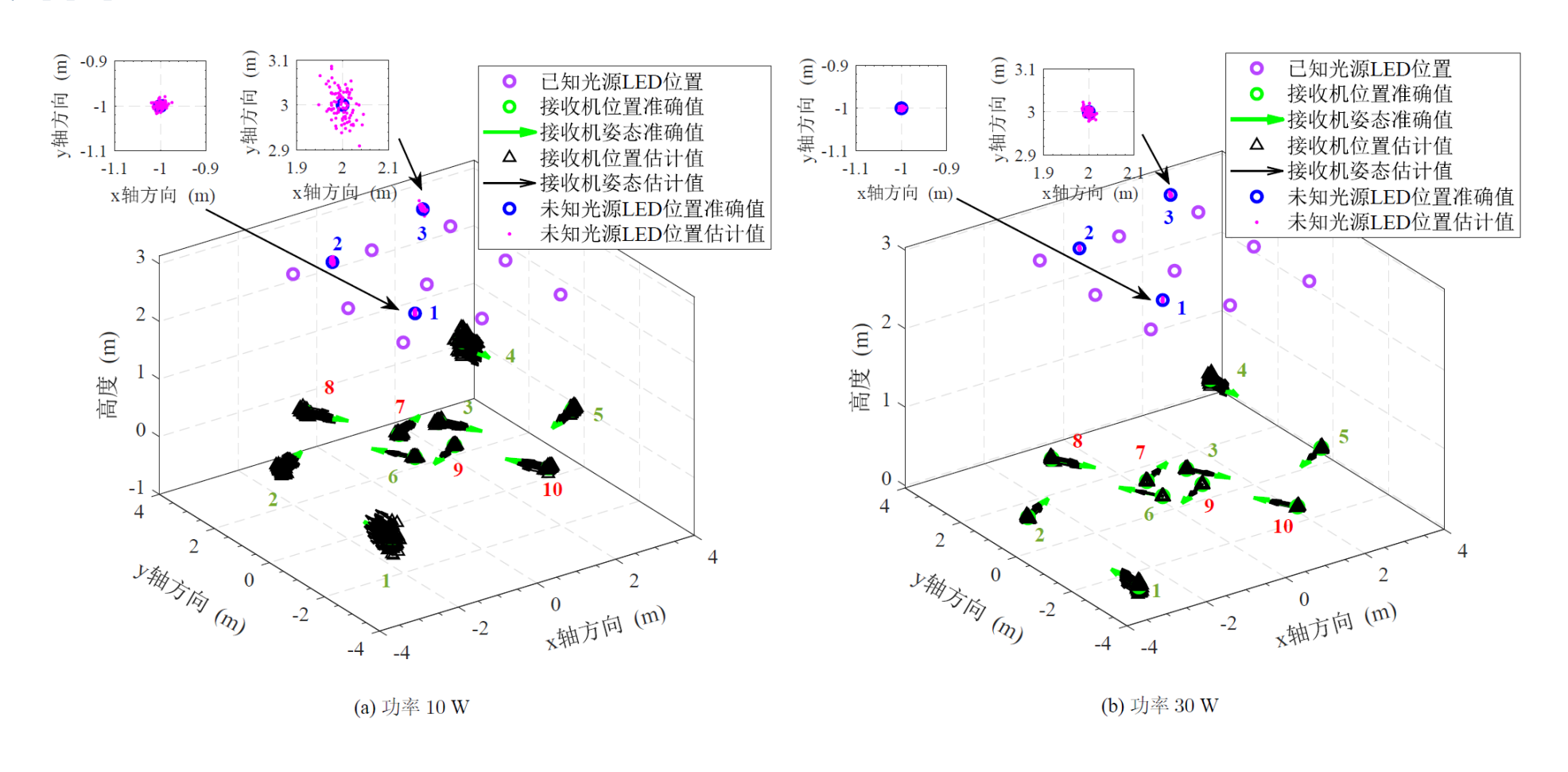


LED数据库的全自动构建方法 心紫色的安设室 Purple Mountain Laboratories





仿真结果

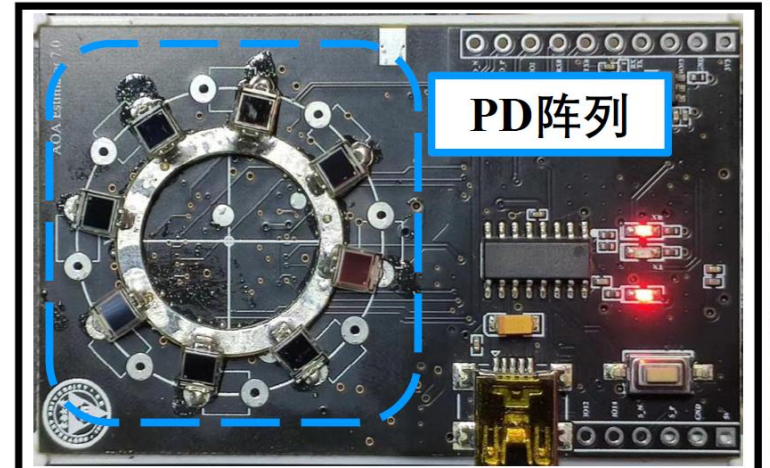


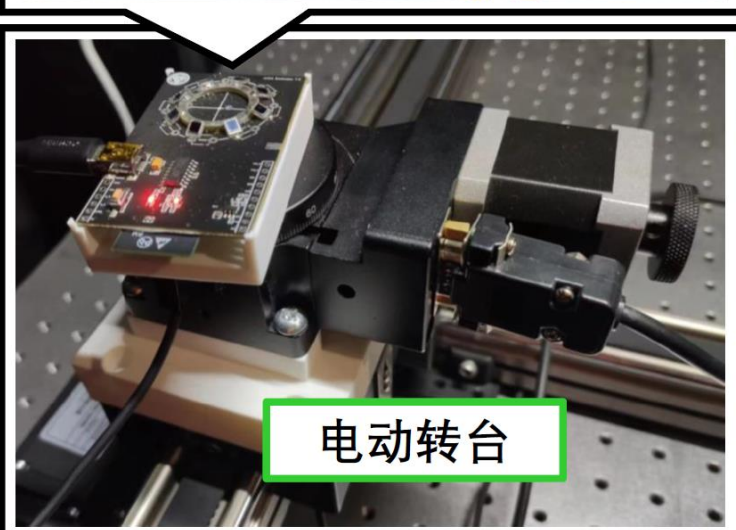
LED数据库的全自动构建方法 心紫色的安徽军

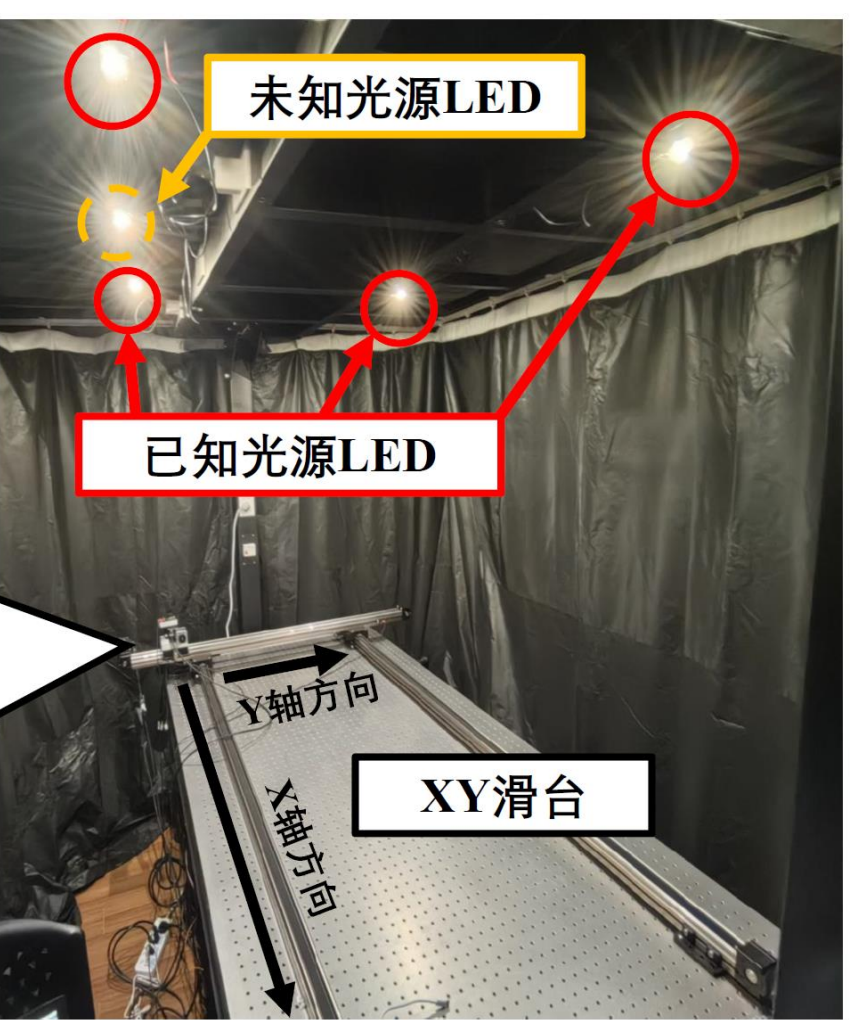


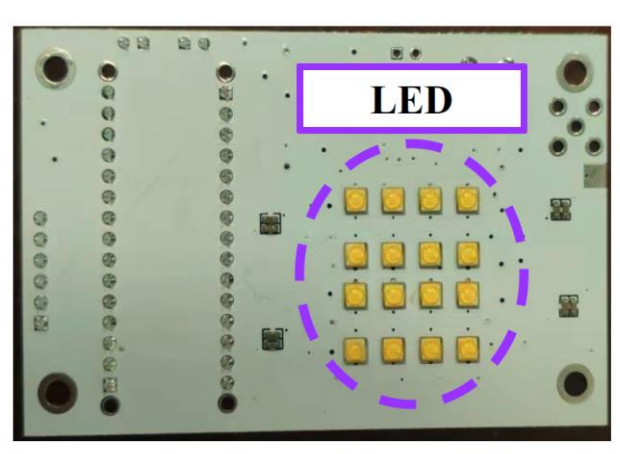


实验平台

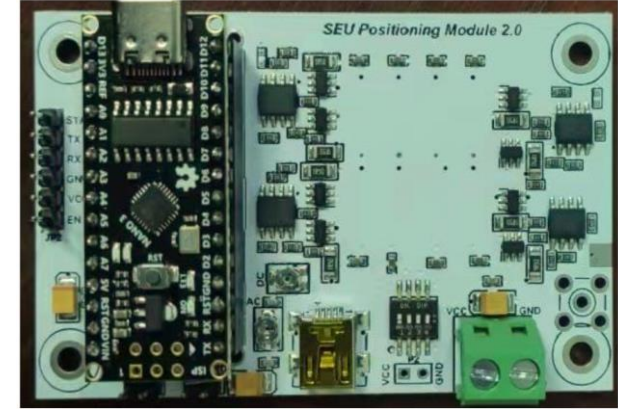








(a) 正面图



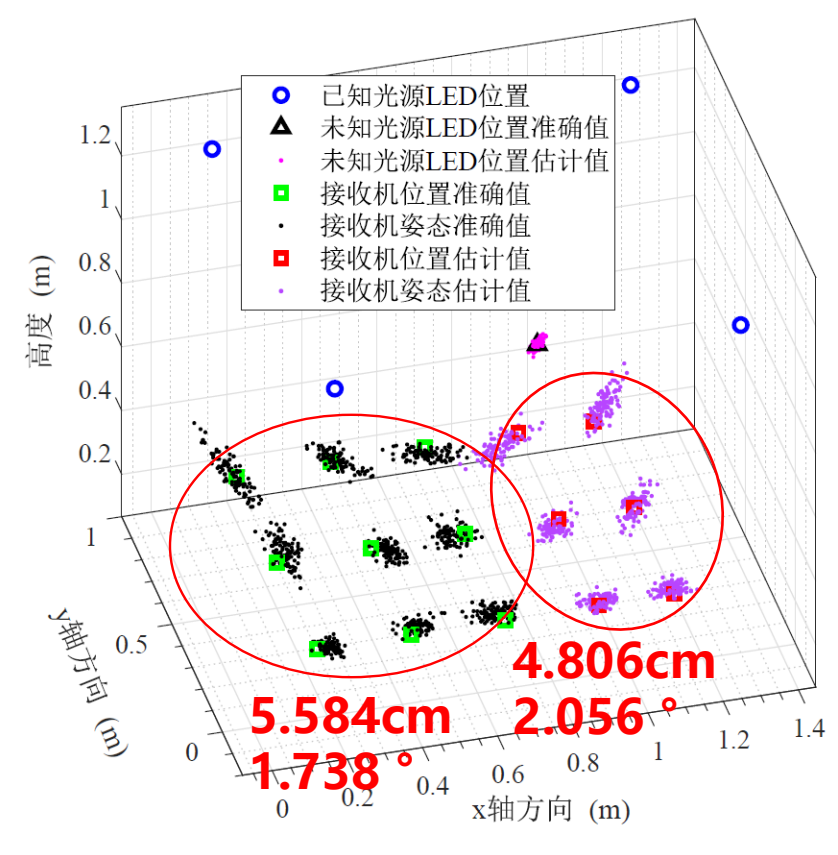
(b) 背面图

LED数据库的全自动构建方法 心紫色的紫色的

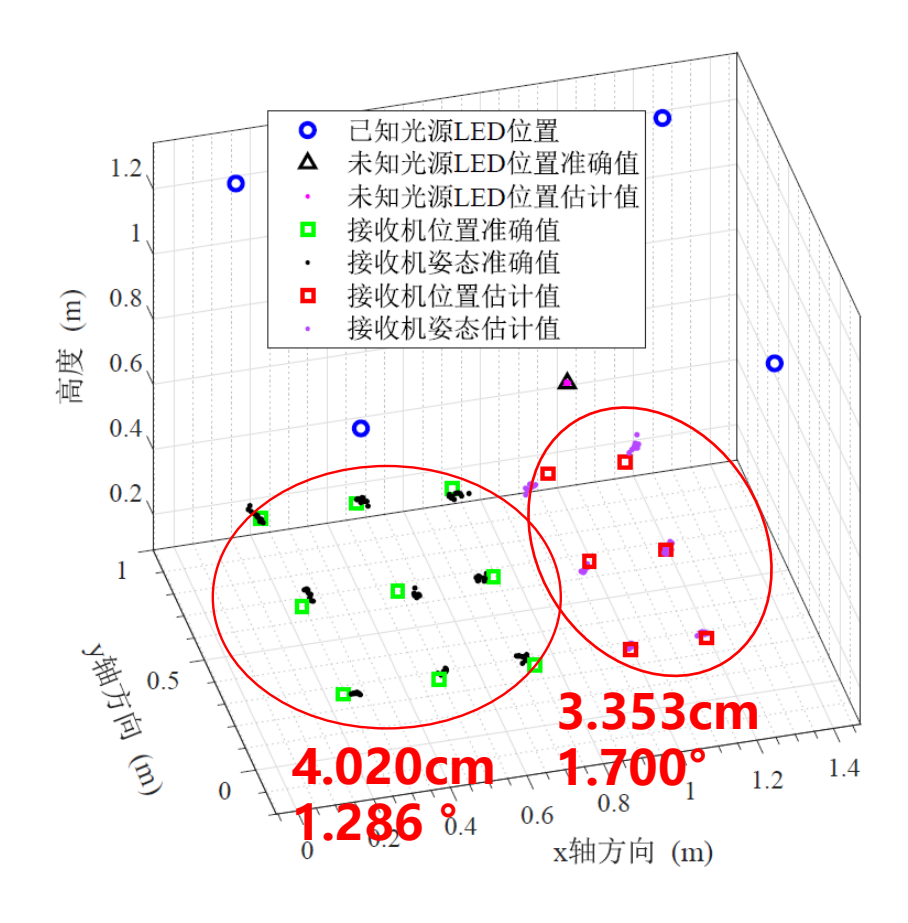




实验结果



(a) 采用原始入射向量样本进行估计



(b) 采用 10 个入射向量样本的平均值进行估计

LED平均误差2.015cm

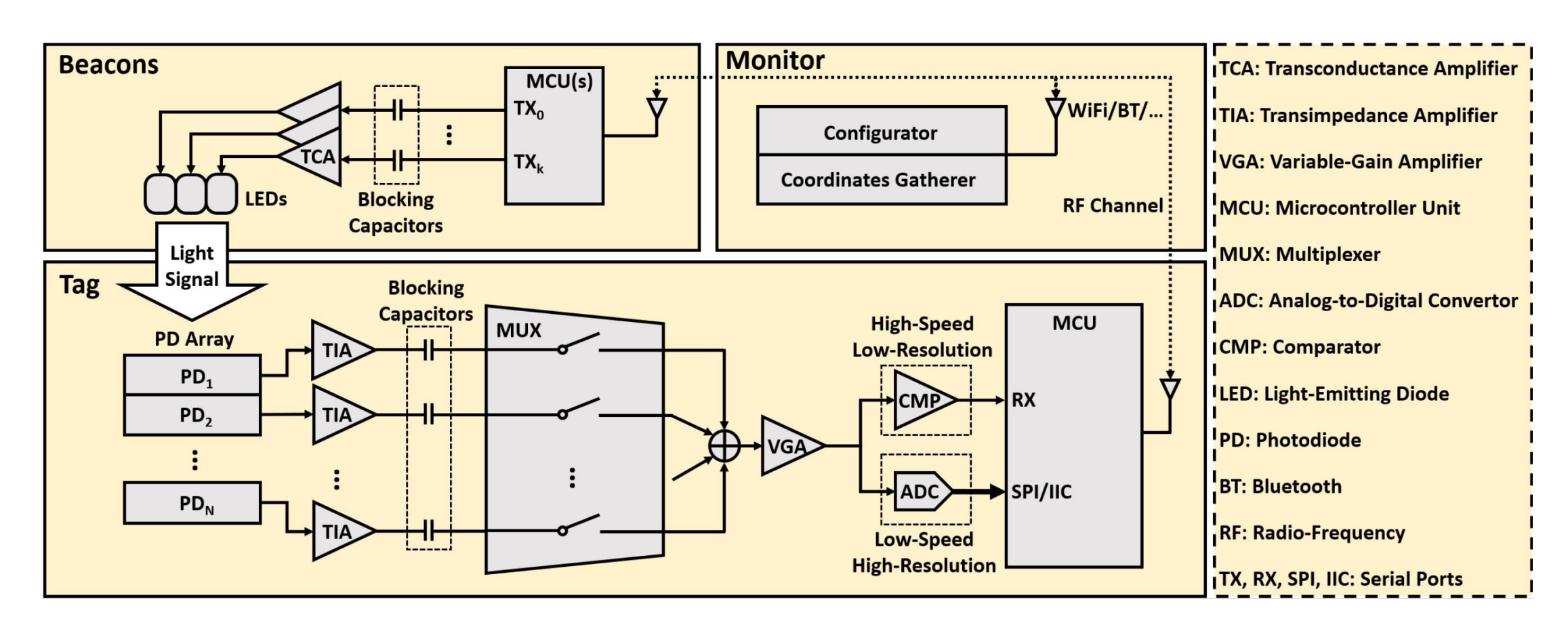
LED平均误差0.621cm

无线光定位的系统实现





硬件架构

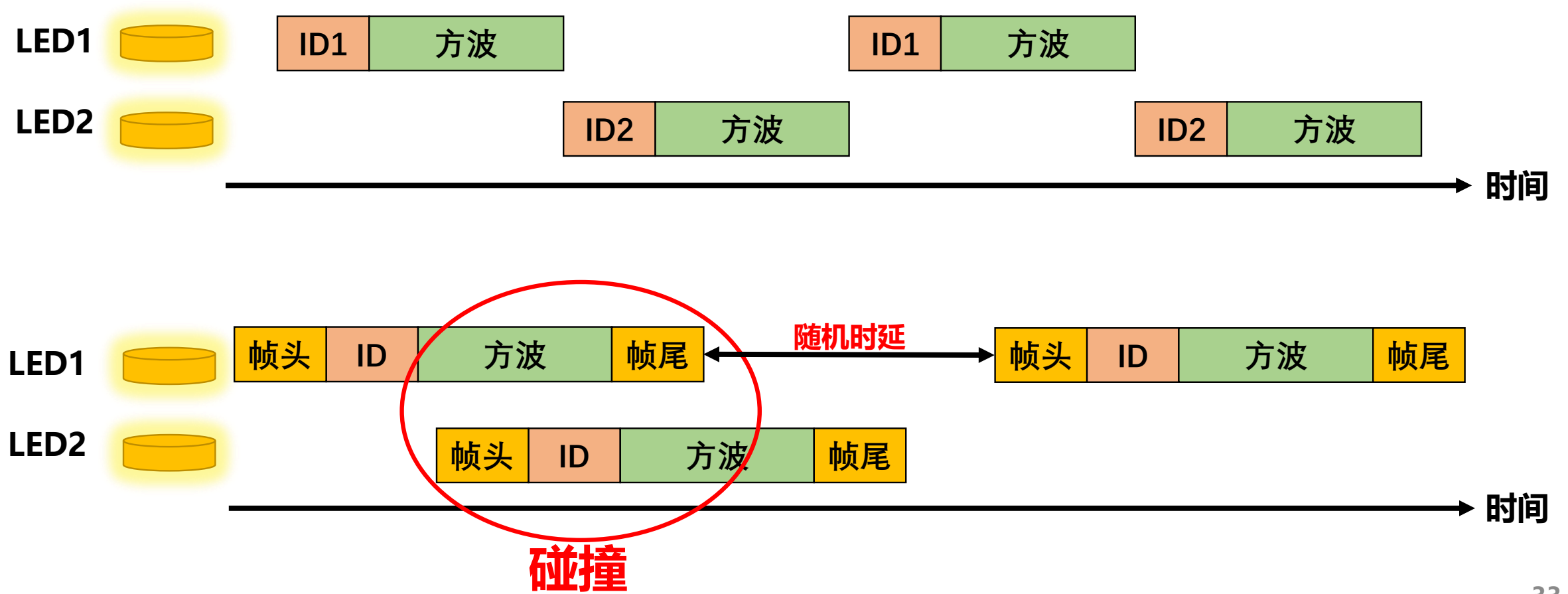


无线光定位的系统实现





时分多址接入

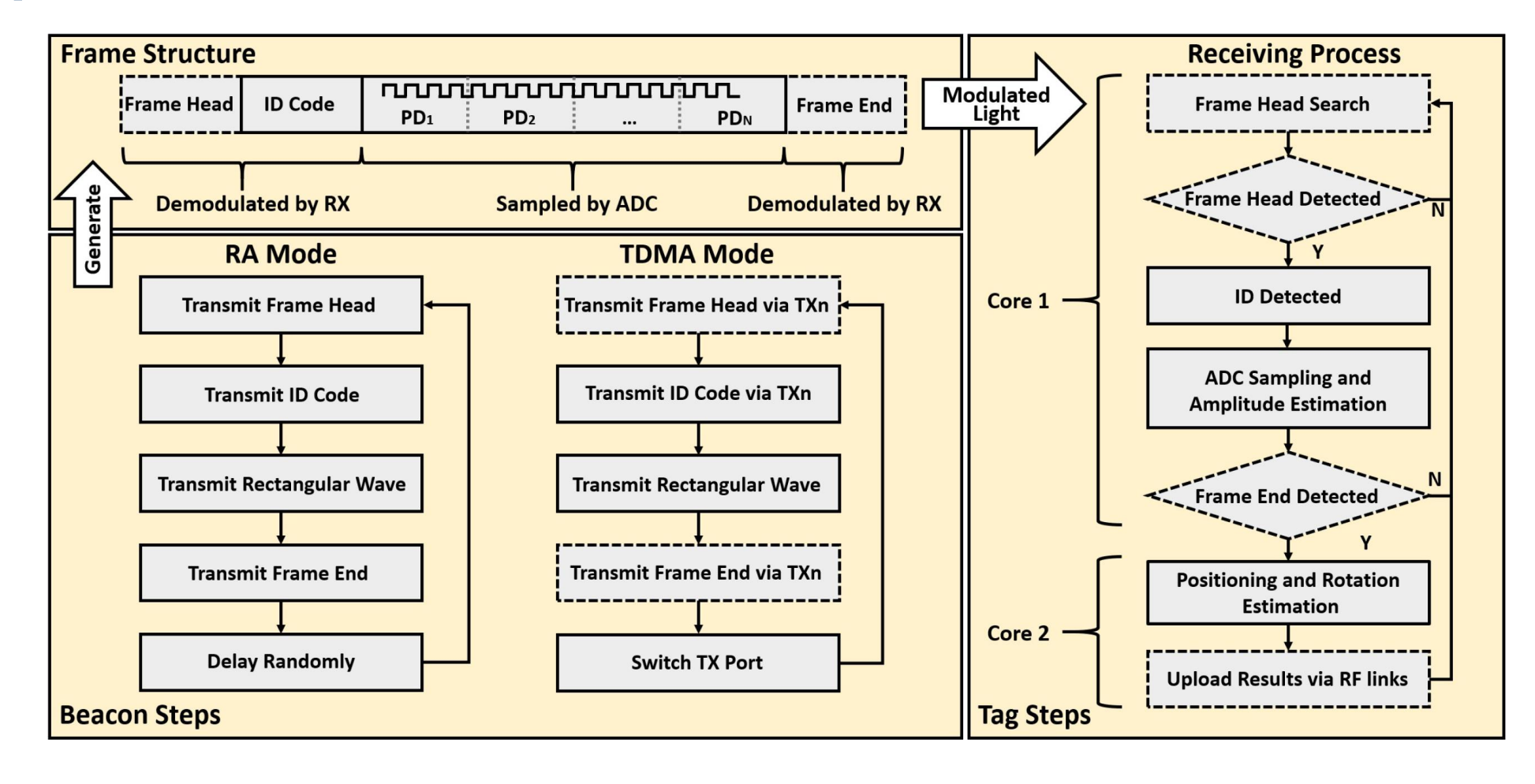


无线光定位的系统实现





软件架构

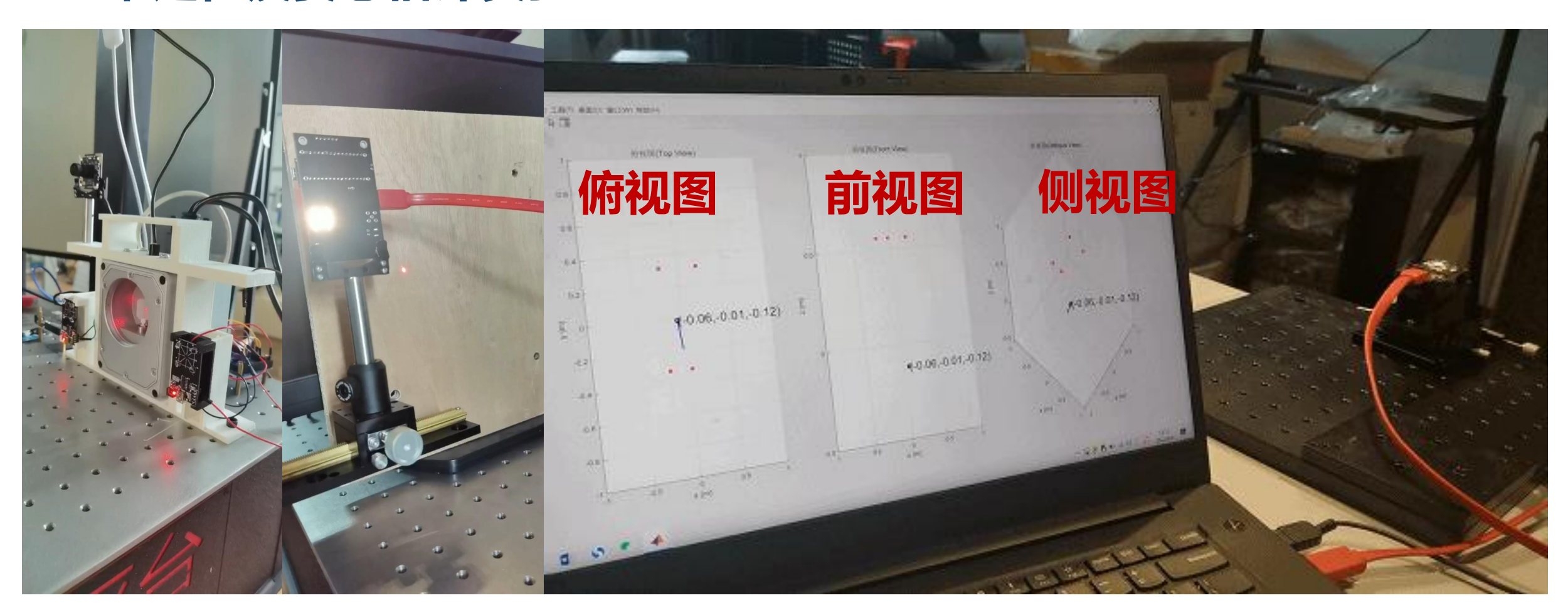


高速无线光定位方法

三维定位及姿态估计实验











总结

- · 现有的无线定位技术无法支持激光移动通信等对定位时延和精度都具有 苛刻要求的应用
- · PD阵列可用作快速、精确、廉价、广角、低功耗的AOA估计器
- ·PD存在最优方向组合,入射向量估计误差服从高斯分布
- ·二维光定位算法存在闭式表达式;三维光定位算法存在几何解释,能估 旋转矩阵
- ·用户定位和LED坐标建库能同时进行,用户和LED误差均存在闭式表达式
- · 无线光定位存在低成本实现框架, 其关键在于基于时分的混合帧设计和 硬串口的光透传





谢谢!

zbc@seu.edu.cn

